

2022

Weekly / Semanal

Influenza Report EW 38/ Reporte de Influenza SE 38

Regional Update: Influenza and Other Respiratory Viruses /
Actualización Regional: Influenza y otros virus respiratorios



October 6, 2022
6 de octubre del 2022

*Data as of September 30, 2022
Datos hasta el 30 de septiembre del 2022*

WEEKLY REPORT DATA SOURCES

The information presented in this update is based on data provided by Ministries of Health and National Influenza Centers of Member States to the global informatics platforms [FluNet](#) and [FluID](#); and reports/weekly bulletins that Ministries of Health published on its website or shared with PAHO/WHO.

Compared to the same period of the previous years, the current influenza surveillance data should be interpreted in light of the ongoing COVID-19 pandemic, which may have influence, to differing extents, health seeking behaviors, staffing/routines in sentinel sites, and testing capacities in Member States.

© Pan American Health Organization, 2022

Some rights reserved. This work is available under license [CC BY-NC-SA 3.0 IGO](#).

La información presentada en esta actualización se obtiene a partir de los datos notificados por los Ministerios de Salud y los Centros Nacionales de Influenza de los Estados Miembros a las plataformas informáticas globales de la OPS/OMS: [FluNet](#) y [FluID](#); y de los informes/boletines semanales que los Ministerios de Salud publican en sus páginas web o comparten con la OPS/OMS.

En comparación con el mismo período de los años anteriores, los datos actuales de vigilancia de la influenza deben interpretarse a la luz de la pandemia de COVID-19 en curso, que puede tener influencia en diferentes grados, comportamientos de búsqueda de salud, personal/rutinas en sitios centinela, y capacidades de prueba en los Estados Miembros.

© Organización Panamericana de la Salud, 2022

Algunos derechos reservados. Esta obra está disponible en virtud de la licencia [CC BY-NC-SA 3.0 IGO](#).

PAHO interactive data / Datos interactivos de la OPS:

PAHO FluNet: http://ais.paho.org/php/viz/ed_flu.asp

PAHO FluID: <http://ais.paho.org/php/viz/flumart2015.asp>

Influenza Situation Report / Informe de situación de influenza

In English: <https://www.paho.org/hq/influenzareport>

En español: www.paho.org/reportesinfluenza

Severe acute respiratory infections network - SARinet

Red de las infecciones respiratorias agudas graves - SARinet:

<http://www.sarinet.org>

[Go to Index /](#)
[Ir al Índice](#)

FluNet

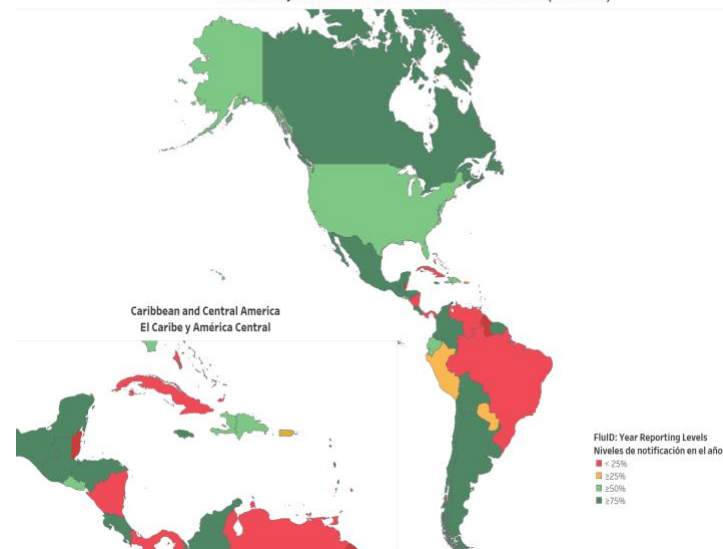
Reporting percentage to FluNet during 2022 (EW 1-38)
Porcentaje de notificación a FluNet en el 2022 (SE 1-38)



FluNet-Fluid
reporting/informe a
FluNet - Fluid

FluID

Reporting Percentage to FluID during 2022 (EW 1-38)
Porcentaje de notificación a FluID en el 2022 (SE 1-38)



Map Production /Producción del mapa: PAHO/WHO. OPS/OMS.

Data Source / Fuente de datos:

Ministries of Health and National Influenza Centers of Member States
Reports to the informatics global platforms [FluNet](#) and [FluID](#)
Informe de los Ministerios de Salud y los Centros Nacionales de
Influenza de los Estados Miembros a las plataformas informáticas

REPORT INDEX

ÍNDICE DEL INFORME

Section	Content	Page
1	<u>Weekly Summary / Resumen semanal</u>	5
2	<u>Global Influenza Programme - Update 429 / Programa mundial de influenza - Actualización 429</u>	7
3	<u>Regional Summary - Overall Influenza and RSV circulation / Resumen Regional - Circulación general de los virus influenza y VRS</u>	9
4	<u>Overall other respiratory virus circulation and SARS-CoV-2 Variants of Concern / Circulación general de otros virus respiratorios y variantes de preocupación del SARS-CoV-2</u>	10
5	<u>Weekly and Cumulative numbers / Números semanales y acumulados</u>	11
6	<u>Epidemiological and Virologic updates by country / Actualización epidemiológica y virológica por país</u>	12
7	<u>Technical note / Nota técnica</u>	39
8	<u>Acronyms / Acrónimos</u>	40

WEEKLY SUMMARY

North America: Influenza activity remained low in the subregion, with the circulation of influenza A(H1N1)pdm09, influenza B (lineage undetermined), and the predominance of influenza A(H3N2). SARS-CoV-2 activity continued to decrease. In [Canada](#), influenza was at interseasonal levels, while SARS-CoV-2 cases increased among those aged 60 and older. In [Mexico](#), influenza activity remained increased at low-intensity levels and declined SARS-CoV-2 activity. In the [United States](#), influenza activity was at interseasonal levels, while SARS-CoV-2 activity continued to decrease.

Caribbean: Influenza activity remained low, with the influenza A(H3N2) virus predominance. [Saint Lucia](#) reported increased SARS-CoV-2 activity, while RSV activity continued elevated in the [Dominican Republic](#).

Central America: Influenza activity remained at baseline levels, predominating influenza A(H3N2). In [Guatemala](#), influenza activity increased, predominating influenza A(H3N2). In [Costa Rica](#) and [Honduras](#), SARS-CoV-2 activity continues elevated, but decreasing. In [Nicaragua](#) and [Panama](#), RSV activity continues to increase.

Andean Countries: Influenza activity remained low, with influenza A(H3N2) predominance. [Colombia](#) and [Peru](#) reported SARS-CoV-2 at low activity levels.

Brazil and Southern Cone: The influenza activity remained low but with an upwards trend due to the increase observed in Argentina, where a moderate activity was detected, and Brazil, where the activity although increasing remained low. Influenza A(H3N2) was predominant with additional detections of influenza A(H1N1)pdm09, influenza B (lineage undetermined). The SARS-CoV-2 activity was low throughout the subregion. Increased RSV activity was reported in [Brazil](#) and [Uruguay](#).

Global: Influenza activity remained low, with influenza A(H3N2) viruses predominately detected. In the temperate zones of the southern hemisphere, overall influenza activity appeared to decrease further during this reporting period, except in South Africa, where activity increased. In Oceania, influenza detections of primarily influenza A(H3N2) and influenza-like activity (ILI) were at low levels. In Southern Africa, there was an increase in influenza activity, with mainly influenza B viruses reported. In tropical Africa, influenza activity remained low, with influenza A(H3N2) viruses predominant among the reported detections. In Southern Asia, influenza detections were predominantly A(H1N1)pdm09 viruses, with influenza A(H3N2) and influenza B viruses also reported. In South-East Asia, influenza activity decreased a little, with influenza A(H3N2) viruses predominating. In Europe, overall influenza activity remained at inter-seasonal levels, with influenza A(H3N2) detections increasing in a few countries. In Central Asia, no influenza detections were reported. In Northern Africa, no influenza detections were reported. In East Asia, influenza activity of predominantly influenza A(H3N2) continued to decrease in China. Elsewhere, influenza illness indicators and activity were low. In Western Asia, influenza detections slightly increased in some countries of the Arab Peninsula.

RESUMEN SEMANAL

América del Norte: la actividad de la influenza se mantuvo baja en la subregión, con circulación de influenza A(H1N1)pdm09, influenza B (linaje indeterminado) y predominio de influenza A(H3N2). La actividad del SARS-CoV-2 siguió disminuyendo. En [Canadá](#), la influenza se ubicó en niveles interestacionales, mientras que los casos de SARS-CoV-2 aumentaron en las personas de 60 años o más. En [México](#), la actividad de la influenza se mantuvo aumentada en niveles de baja intensidad, mientras que disminuyó la actividad del SARS CoV-2. En los [Estados Unidos](#), la actividad de la influenza estuvo en niveles interestacionales, mientras que la actividad del SARS-CoV-2 continuó disminuyendo.

Caribe: la actividad de la influenza se mantuvo baja con predominio del virus influenza A(H3N2). [Santa Lucía](#) informó una mayor actividad de SARS CoV-2, mientras que la actividad del VRS continuó elevada en la [República Dominicana](#).

América Central: la actividad de la influenza se mantuvo en niveles basales, predominando influenza A(H3N2). En [Guatemala](#) aumentó la actividad de la influenza, predominando influenza A(H3N2). En [Costa Rica](#) y [Honduras](#), la actividad del SARS-CoV-2 continúa elevada, pero en disminución. En [Nicaragua](#) y [Panamá](#), la actividad del VRS continúa aumentando.

Países Andinos: la actividad de la influenza se mantuvo baja, con predominio de influenza A(H3N2). [Colombia](#) y [Perú](#) reportaron SARS CoV-2 en niveles bajos de actividad.

Brasil y Cono Sur: la actividad de la influenza se mantuvo baja pero con una tendencia creciente debido al incremento observado en Argentina, donde se detectó una actividad moderada y en Brasil, donde la actividad aunque creciente se mantuvo baja. Se detectó predominantemente influenza A(H3N2) con detecciones adicionales de influenza A(H1N1)pdm09 e influenza B (linaje indeterminado). La actividad del SARS-CoV-2 estuvo baja en toda la subregión. Se reportó un aumento de la actividad del VRS en [Brasil](#) y [Uruguay](#).

Global: la actividad de la influenza se mantuvo baja, con la detección de virus influenza A(H3N2) predominantemente. En las zonas templadas del hemisferio sur, la actividad general de la influenza pareció disminuir más durante el período de este informe, excepto en Sudáfrica, en donde la actividad aumentó. En Oceanía, las detecciones de influenza principalmente A(H3N2) y la enfermedad tipo influenza (ETI) se ubicaron en niveles bajos. En el sur de África, hubo un aumento en la actividad de la influenza, con el reporte de los virus influenza B principalmente. En África tropical, la actividad de la influenza se mantuvo baja, con predominio de los virus influenza A(H3N2) entre las detecciones notificadas. En el sur de Asia, las detecciones de influenza fueron predominantemente de virus A(H1N1)pdm09, y también se reportaron los virus de la influenza A(H3N2) e influenza B. En el sudeste asiático, la actividad de la influenza disminuyó un poco, predominando los virus de la influenza A(H3N2). En Europa, en general la actividad de la influenza se mantuvo en niveles entre estaciones, y las detecciones de influenza A(H3N2) aumentaron en algunos países. En Asia Central y en el norte de África, no se informaron detecciones de influenza. En el este de Asia, la actividad de la influenza predominantemente A(H3N2) continuó disminuyendo en China. En otros lugares, los indicadores y la actividad de la enfermedad tipo influenza fueron bajos. En Asia Occidental, las detecciones de influenza aumentaron ligeramente en algunos países de la Península Arábiga.

Influenza Global Update 429 / Actualización de influenza a nivel mundial 429

3 October 2022 / 3 de octubre de 2022

Based on data up to 18 September 2022 / basado en datos hasta el 18 de septiembre de 2022

Globally, influenza activity remained low, with influenza A(H3N2) viruses predominately detected. In the temperate zones of the southern hemisphere, overall influenza activity appeared to decrease further during this reporting period, except in South Africa, where activity increased. In Oceania, influenza detections of primarily influenza A(H3N2) and influenza-like activity (ILI) were at low levels. In Southern Africa, there was an increase in influenza activity, with mainly influenza B viruses reported. In tropical Africa, influenza activity remained low, with influenza A(H3N2) viruses predominant among the reported detections. In Southern Asia, influenza detections were predominantly A(H1N1)pdm09 viruses, with influenza A(H3N2) and influenza B viruses also reported. In South-East Asia, influenza activity decreased a little, with influenza A(H3N2) predominating. In Europe, overall influenza activity remained at inter-seasonal levels, with influenza A(H3N2) detections increasing in a few countries. In Central Asia, no influenza detections were reported. In Northern Africa, no influenza detections were reported. In East Asia, influenza activity of predominantly influenza A(H3N2) continued to decrease in China. Elsewhere, influenza illness indicators and activity were low. In Western Asia, influenza detections slightly increased in some countries of the Arab Peninsula.

National Influenza Centers (NICs) and other national influenza laboratories from 99 countries, areas, or territories reported data to FluNet from 5 September 2022 to 18 September 2022. The WHO GISRS laboratories tested more than 118 327¹ specimens during that period. A total of 4123 specimens were positive for influenza viruses, of which 3650 (88.5%) were typed as influenza A and 473 (11.5%) as influenza B. Of the sub-typed influenza A viruses, 369 (13%) were influenza A(H1N1)pdm09, and 2463 (87%) were influenza A(H3N2). Of the characterized B viruses, all 169 (100%) belonged to the B/Victoria lineage.

Full information available online in the following WHO site: [Latest influenza update](#)

A nivel mundial, la actividad de la influenza se mantuvo baja, con la detección de virus influenza A(H3N2) predominantemente. En las zonas templadas del hemisferio sur, la actividad general de la influenza pareció disminuir más durante el período de este informe, excepto en Sudáfrica, en donde la actividad aumentó. En Oceanía, las detecciones de influenza principalmente A(H3N2) y la enfermedad tipo influenza (ETI) se ubicaron en niveles bajos. En el sur de África, hubo un aumento en la actividad de la influenza, con el reporte de los virus influenza B principalmente. En África tropical, la actividad de la influenza se mantuvo baja, con predominio de los virus influenza A(H3N2) entre las detecciones notificadas. En el sur de Asia, las detecciones de influenza fueron predominantemente de virus A(H1N1)pdm09, y también se reportaron los virus de la influenza A(H3N2) e influenza B. En el sudeste asiático, la actividad de la influenza disminuyó un poco, predominando los virus de la influenza A(H3N2). En Europa, en general la actividad de la influenza se mantuvo en niveles entre estaciones, y las detecciones de influenza A(H3N2) aumentaron en algunos países. En Asia Central y en el norte de África, no se informaron detecciones de influenza. En el este de Asia, la actividad de la influenza predominantemente A(H3N2) continuó disminuyendo en China. En otros lugares, los indicadores y la actividad de la enfermedad tipo influenza fueron bajos. En Asia Occidental, las detecciones de influenza aumentaron ligeramente en algunos países de la Península Arábiga.

Los Centros Nacionales de Influenza (CNI) y otros laboratorios nacionales de influenza de 99 países, áreas o territorios reportaron sus datos a FluNet para el período comprendido entre el 5 y el 18 de septiembre de 2022. Los laboratorios GISRS de la OMS analizaron más de 118 327¹ muestras durante ese período. Un total de 4123 muestras resultaron positivas para los virus de la influenza, de las cuales 3650 (88,5 %) se tipificaron como influenza A y 473 (11,5 %) como influenza B. De los virus influenza A, a los cuales se les identificó el subtipo, 369 (13 %) fueron influenza A(H1N1)pdm09 y 2463 (87 %) fueron influenza A(H3N2). De los virus influenza B caracterizados, 169 (100 %) pertenecían al linaje Victoria.

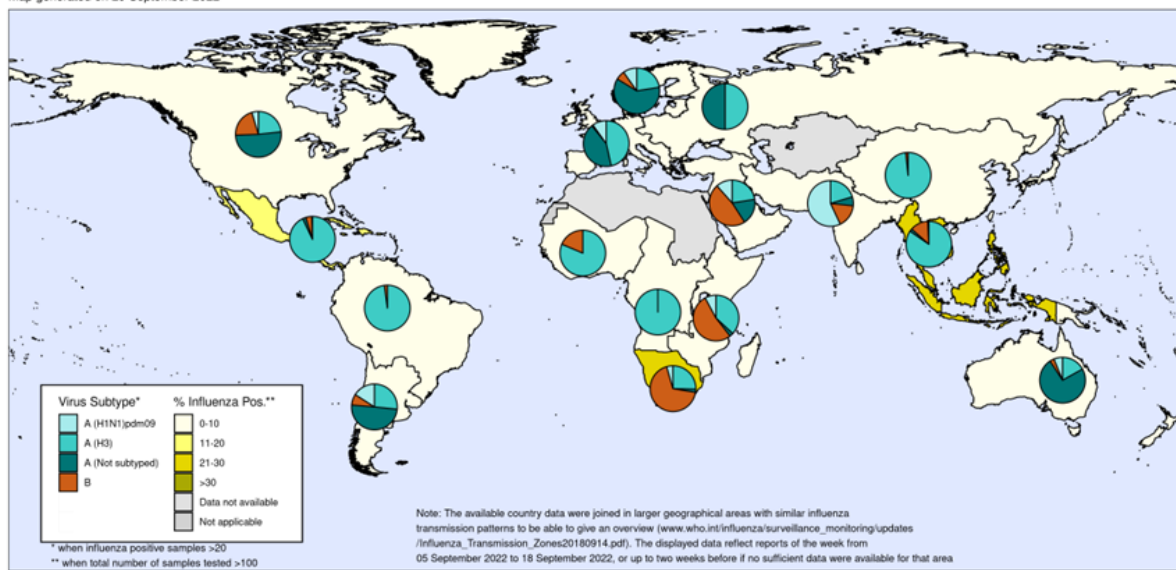
Información completa disponible en línea en el siguiente sitio de la OMS: [Última actualización sobre la gripe](#)

¹ It includes data only from countries reporting on positive and negative influenza specimens. Incluye datos únicamente de países que notifican muestras positivas y negativas para influenza.

Percentage of respiratory specimens that tested positive for influenza-by-influenza transmission zone / Porcentaje de muestras respiratorias que resultaron positivas para influenza por zona de transmisión de influenza.

Percentage of respiratory specimens that tested positive for influenza
By influenza transmission zone

Map generated on 29 September 2022



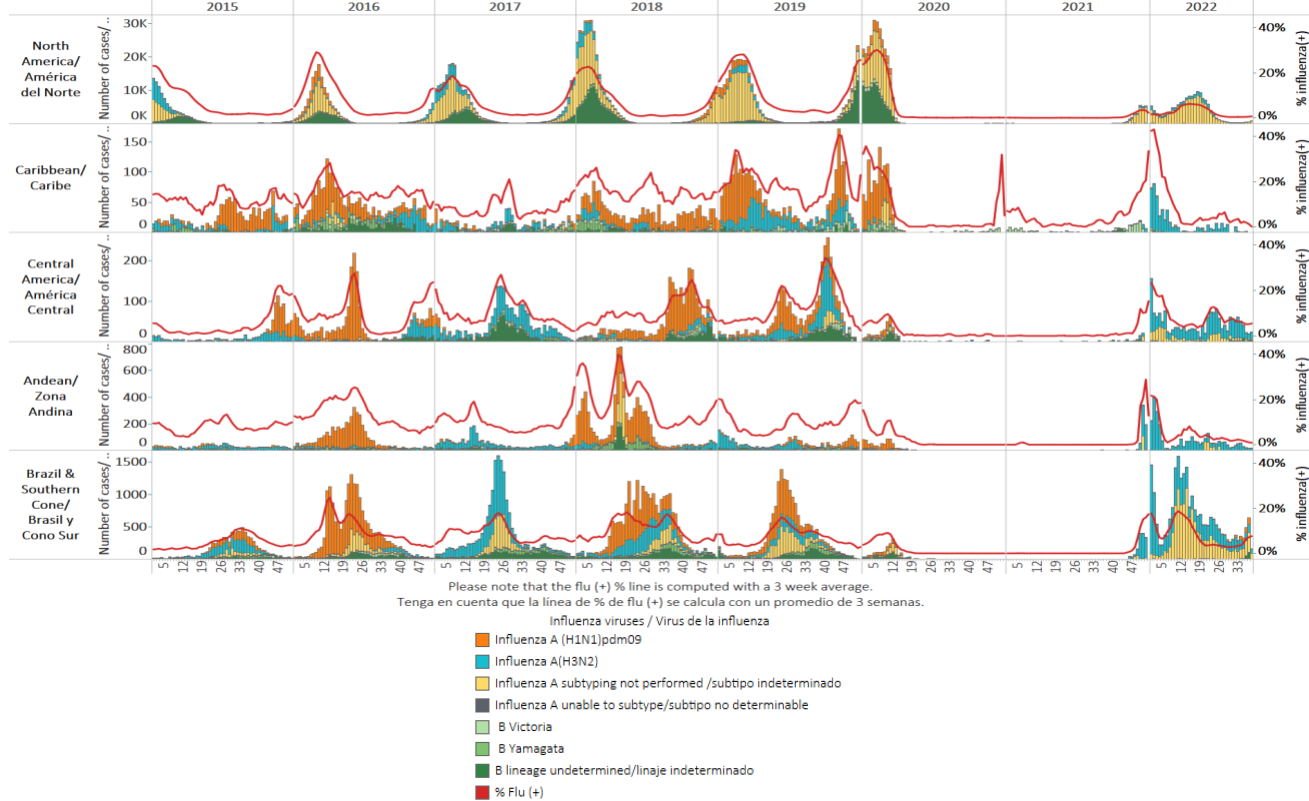
The boundaries and names shown and the designations used on this map do not imply the expression of any opinion whatsoever on the part of the World Health Organization concerning the legal status of any country, territory, city or area or of its authorities, or concerning the delimitation of its frontiers or boundaries. Dotted and dashed lines on maps represent approximate border lines for which there may not yet be full agreement.

Data source: Global Influenza Surveillance and Response System (GISRS), FluNet (www.who.int/flu.net)
Copyright WHO 2022. All rights reserved.



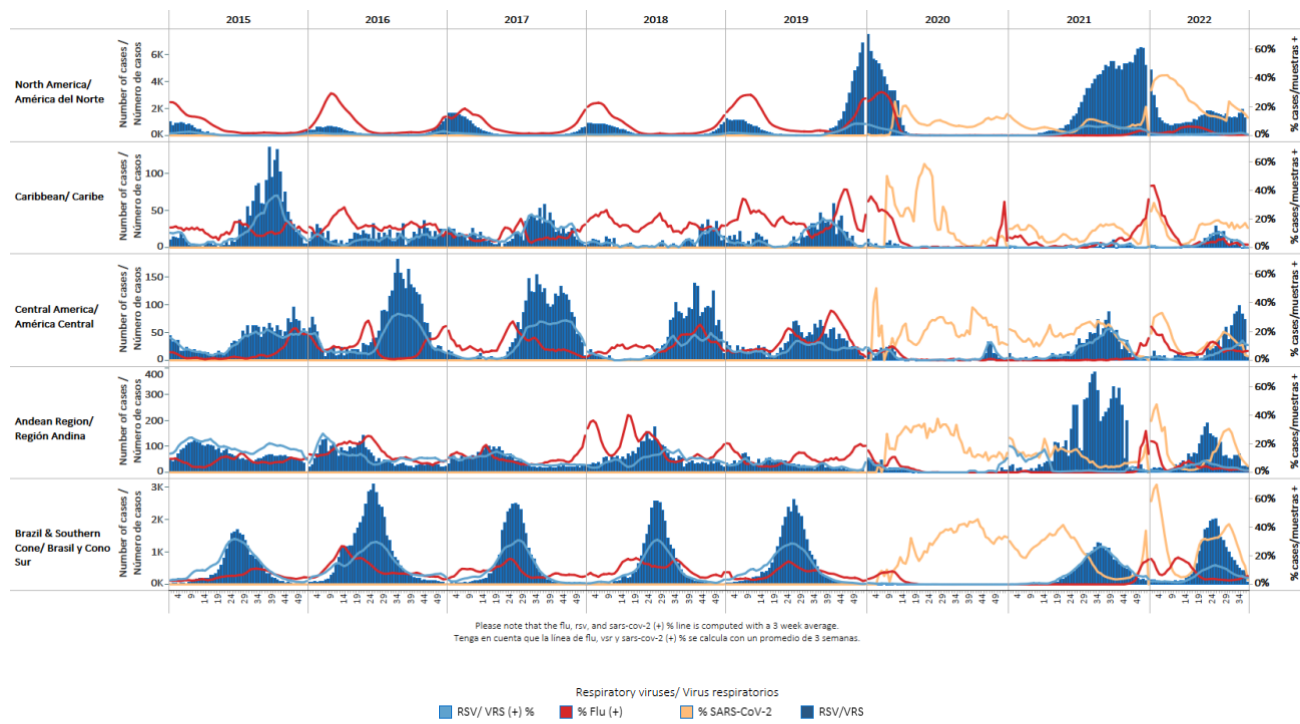
REGIONAL SUMMARY / RESUMEN REGIONAL

Influenza circulation by subregion, 2015-22 Circulación virus influenza por subregión, 2015-22



Respiratory syncytial virus (RSV) circulation by Subregion, 2015-22

Circulación virus respiratorio sincitial (VRS) por subregión, 2015-22

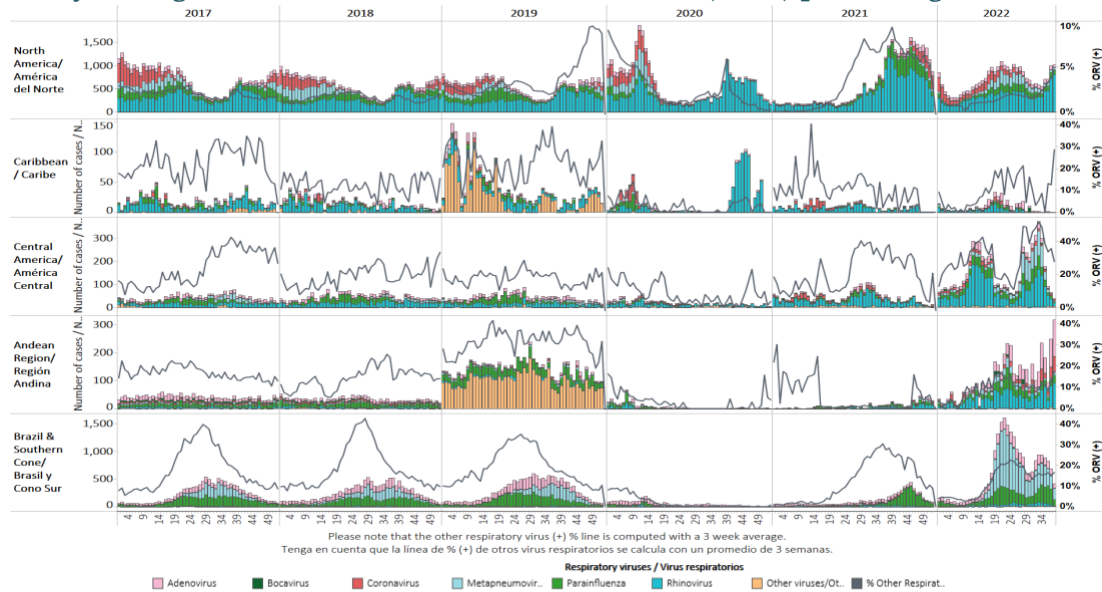


*To view more lab data, view [here](#).

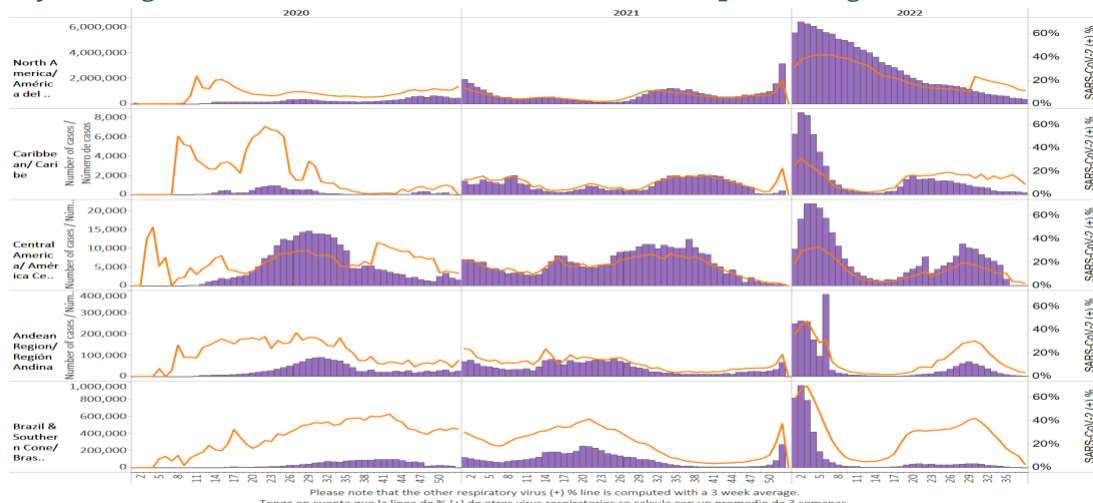
Para ver más datos de laboratorio,

vea [aquí](#).

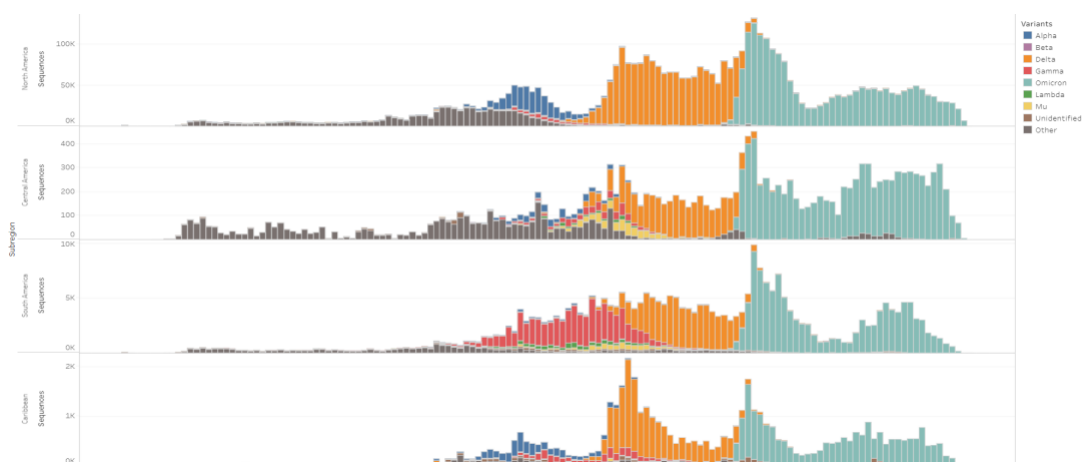
Other respiratory viruses (ORV) circulation by subregion, 2017-22



SARS-CoV-2 circulation by Subregion, 2020 – 2022



SARS-CoV-2 Variants of Concern by Subregion, August 2020 – September 2022



Circulación de otros virus respiratorios (OVR) por subregión, 2017-22

Circulación de SARS-CoV-2 por subregión, 2020 – 2022

Variantes de preocupación del SARS-CoV-2 por subregión, agosto de 2020 – septiembre de 2022

EPIDEMIOLOGIC AND VIROLOGIC UPDATE OF INFLUENZA & OTHER RESPIRATORY VIRUSES BY COUNTRY

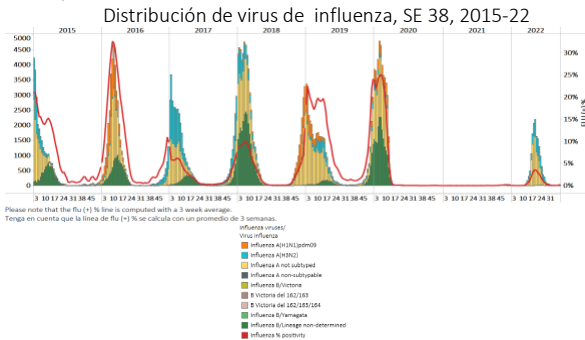
ACTUALIZACIÓN EPIDEMIOLÓGICA Y VIROLÓGICA DE INFLUENZA Y OTROS VIRUS RESPIRATORIOS POR PAÍS

North America / América del Norte

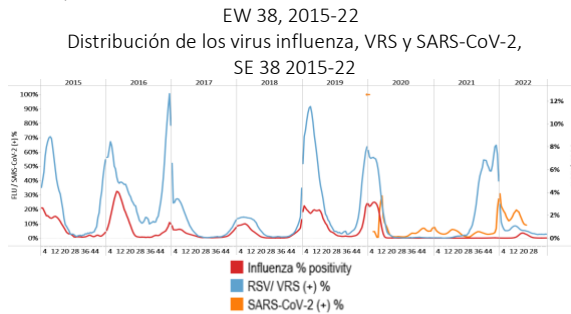
Canada / Canadá

- During EW 38, influenza A(H3N2) detections predominated, followed by some influenza A(H1N1)pdm09 (where subtyping was performed) and influenza B viruses (lineage undetermined). Influenza activity remained at expected levels for this time of year (Graphs 1, 2, and 3). Respiratory syncytial virus activity decreased, with lower detections than the last week (Graph 2). Some rhinovirus, parainfluenza, and adenovirus detections were also registered. During the latest week, 18 478 SARS-CoV-2 cases were identified, an increase compared to the previous week (17 325); most cases were recorded in Ontario (49.4%). During the last week, COVID-19 cases increased in persons aged 60 and older (Graph 4). However, the distribution of COVID-19 patients by sex remained unchanged, with 54.4% of cases in women, and 35.2% were 20-39 years old. / Durante la SE 38 predominaron las detecciones de influenza A(H3N2), seguidas de algunos detectores de virus de influenza A(H1N1)pdm09 (en muestras con subtipo determinado) e influenza B (linaje indeterminado). La actividad de influenza se mantuvo en los niveles esperados para esta época del año (Gráficos 1, 2 y 3). Asimismo, se registraron algunas detecciones de rinovirus, parainfluenza y adenovirus. Durante la última semana se identificaron 18 478 casos de SARS-CoV-2, un incremento respecto a la semana anterior (17 325); la mayoría de los casos se registraron en Ontario (49,4%). Durante la última semana aumentaron los casos de COVID-19 en personas de 60 años y más (Gráfico 4). Sin embargo, la distribución de pacientes con COVID-19 por sexo se mantuvo sin cambios, con un 54,4 % de casos en mujeres y un 35,2 % entre 20 y 39 años.

Graph 1. Canada: Influenza virus distribution, EW 38, 2015-22

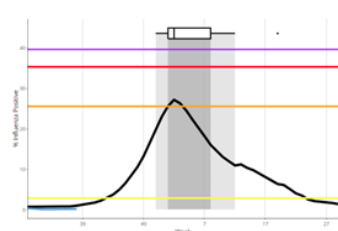


Graph 2. Canada: Influenza, RSV, and SARS-CoV-2 distribution



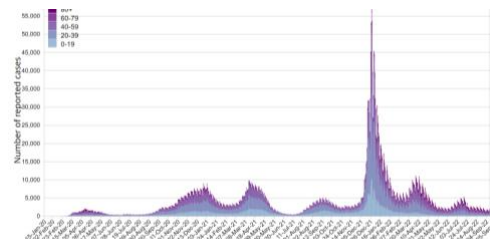
Graph 3. Canada: Percent positivity for influenza, EW 38, 2022 (compared to 2010-21)

Porcentaje de positividad de influenza, SE 38 de 2022 (comparado con 2010-21)



Graph 4. Canada: Age – 20 year groups distribution of COVID-19 cases as of October 3, 2022

Distribución de los casos de la COVID-19 por grupos de edad – por cada 20 años al 3 de octubre de 2022

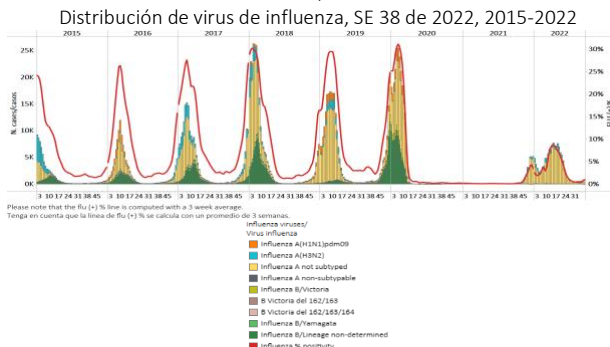


Source: Coronavirus disease (COVID-19): Outbreak update. <https://www.canada.ca/en/public-health>

United States / Estados Unidos

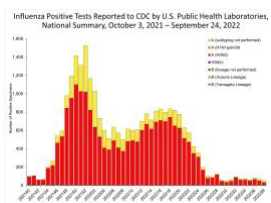
- During EW 38, influenza B (lineage undetermined) predominated, followed by influenza A(H3N2) and influenza A(H1N1)pdm09 (where subtyping was performed). Influenza activity remained at expected levels for this time of year (Graphs 1, 2, and 3). Respiratory syncytial virus detections were reported, with increased activity. In contrast, SARS-CoV-2 percent positivity (11.4%) decreased compared to the previously recorded (Graphs 2 and 3). Influenza-like illness (ILI) increased, with 2.2% of outpatient visits for ILI, below the national baseline, although above the previous seasons' levels (Graph 4). Most jurisdictions reported minimal/low ILI activity levels; in contrast, the District of Columbia, Georgia, and Texas registered high activity levels, while Hawaii and Puerto Rico recorded moderate activity (Graph 5). Laboratory-confirmed COVID-19-associated hospitalizations have decreased, with a -8.2% percent change from EW 37 (Graph 6). / Durante la SE 38 predominó influenza B (linaje indeterminado), seguida de influenza A(H3N2) e influenza A(H1N1)pdm09 (en muestras con subtipo determinado), con una actividad de influenza que se mantuvo en los niveles esperados para esta época del año (Gráficos 1, 2 y 3). Se informaron detecciones de virus respiratorio sincitial, con mayor actividad. Por el contrario, el porcentaje de positividad del SARS-CoV-2 (11,4 %) disminuyó en comparación con el registrado anteriormente (Gráficos 2 y 3). La enfermedad tipo influenza (ETI) aumentó, con un 2,2% de consultas externas por ETI, por debajo de la línea de base nacional, aunque por encima de los niveles de las temporadas anteriores (Gráfico 4). La mayoría de las jurisdicciones reportaron niveles mínimos/bajos de actividad de ETI; en contraste, el Distrito de Columbia, Georgia y Texas registraron niveles de actividad altos, mientras que Hawái y Puerto Rico registraron una actividad moderada (Gráfica 5). Las hospitalizaciones asociadas a la COVID-19 confirmadas por laboratorio han disminuido, con un cambio porcentual de -8,2% desde la SE 37 (Gráfico 6).

Graph 1. USA: Influenza virus distribution, EW 38 2022, 2015-2022



Graph 3. USA: Percent positivity for influenza, EW 38 2022 (compared to 2010-21)

Porcentaje de positividad de influenza, SE 38 de 2022 (comparado con 2010-21)

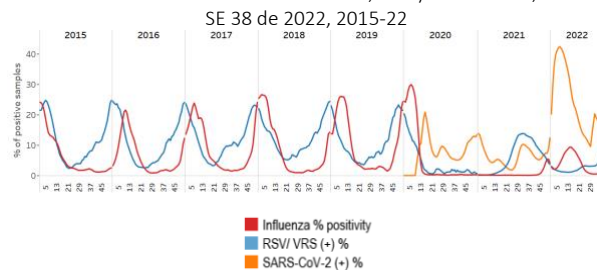


Graph 5. USA: ILI activity level indicator by state, EW 38, 2021-2022
Indicador de nivel de actividad de la ETI por estado, SE 38, 2021-2022



Graph 2. USA: Influenza, RSV, and SARS-CoV-2 distribution EW 38 2022, 2015-22

Distribución de los virus influenza, VRS y SARS-CoV-2, SE 38 de 2022, 2015-22

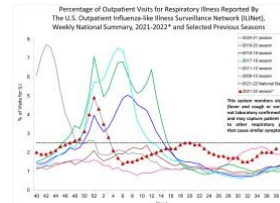


Graph 4. USA: Percentage of visits for ILI, EW 38 2022

compared to selected previous seasons

Porcentaje de visitas por ETI, SE 38, 2022

comparado con temporadas previas seleccionadas

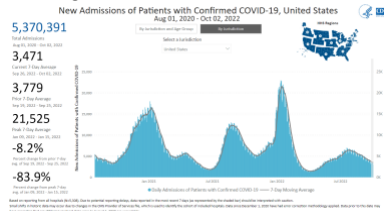


Graph 6. USA: New hospital admissions of patients with confirmed COVID-19, August 1, 2020 – October 2, 2022

Nuevos ingresos hospitalarios de pacientes con COVID-19 confirmado,

1 de agosto de 2020 al 2 de octubre de 2022

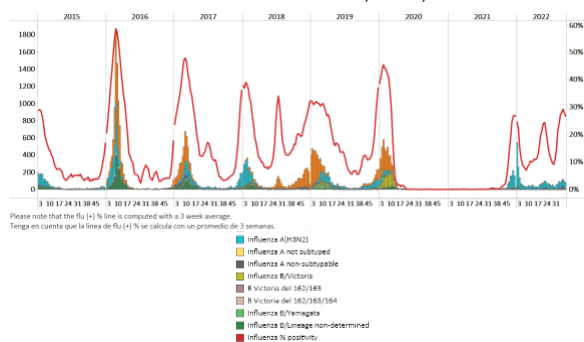
New Admissions of Patients with Confirmed COVID-19, United States



Mexico / México

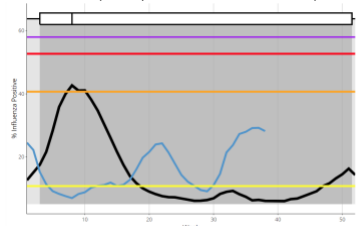
- During EW 38, a predominance of influenza A(H3N2) detections followed by influenza A(H1N1)pdm09 (where subtyping was performed) were reported. Influenza activity remained stable, with percent positivity above the average of previous seasons at low-intensity levels for this time of year (Graphs 1 and 3). Most influenza cases were reported at sentinel sites by Nuevo Leon, Veracruz, Yucatan, and Queretaro jurisdictions. In addition, RSV detections were recorded, with activity at similar levels observed in late 2019. As of EW 38, SARS-CoV-2 percent positivity (11.1%) decreased at higher levels than those observed in EW 14 2022 (Graphs 2 and 4). SARI cases remained stable below the average of previous seasons at low-intensity levels for this time of year (Graph 5). Most sampled SARI cases tested positive for SARS-CoV-2, followed by a few positive for influenza. Influenza-like illness (ILI) cases continued at moderate-intensity levels (Graph 6). Among sampled ILI cases, most tested positive for SARS-CoV-2, followed by those positive for influenza. / Durante la SE 38, se reportó un predominio de detecciones de influenza A(H3N2) seguido de influenza A(H1N1)pdm09 (en muestras con subtipo determinado). La actividad de la influenza se mantuvo estable, con porcentajes de positividad por encima del promedio de temporadas anteriores en niveles de baja intensidad para esta época del año (Gráficos 1 y 3). La mayoría de los casos de influenza fueron reportados en los sitios centinela de las jurisdicciones de Nuevo León, Veracruz, Yucatán y Querétaro. Además, se registraron detecciones de VRS, con actividad en niveles similares a los observados a fines de 2019. En la SE 38, el porcentaje de positividad del SARS-CoV-2 (11,1 %) disminuyó y se ubicó en niveles más altos que los observados en la SE 14 de 2022 (Gráficos 2 y 4). Los casos de IRAG se mantuvieron estables por debajo del promedio de temporadas anteriores en niveles de baja intensidad para esta época del año (Gráfico 5). La mayoría de los casos de IRAG con muestra resultaron positivos para SARS-CoV-2, seguidos de algunos positivos para influenza. Los casos de enfermedad tipo influenza (ETI) continuaron en niveles de intensidad moderada (Gráfico 6). Entre los casos de ETI con muestra, la mayoría fue positivo para SARS-CoV-2, seguido de los positivos por influenza.

Graph 1. Mexico: Influenza virus distribution, EW 38, 2015-22
Distribución del virus influenza, SE 38, 2015-22

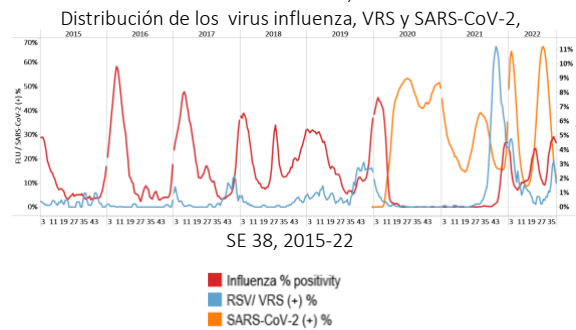


Graph 3. Mexico: Percent positivity for influenza, EW 38, 2022
(compared to 2010-21)

Porcentaje de positividad de influenza, SE 38 de 2022
(comparado con 2010-21)

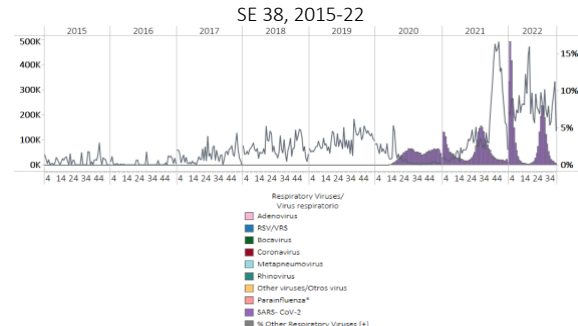


Graph 2. Mexico: Influenza, RSV, and SARS-CoV-2 distribution EW 38, 2015-22
Distribución de los virus influenza, VRS y SARS-CoV-2,

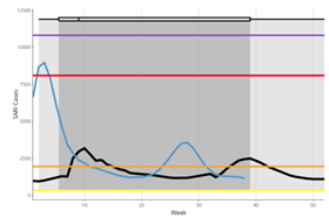


Graph 4. Mexico: RSV, SARS-CoV-2, and other respiratory viruses distribution, EW 38 2015-22
Distribución del VRS, SARS-CoV-2 y otros virus respiratorios,

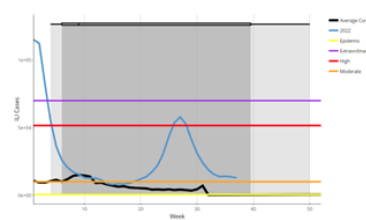
SE 38, 2015-22



Graph 5. Mexico: Number of SARI cases, EW 38, 2022
(compared to 2015-21)
Número de casos de IRAG, SE 38 de 2022
(comparado con 2015-21)



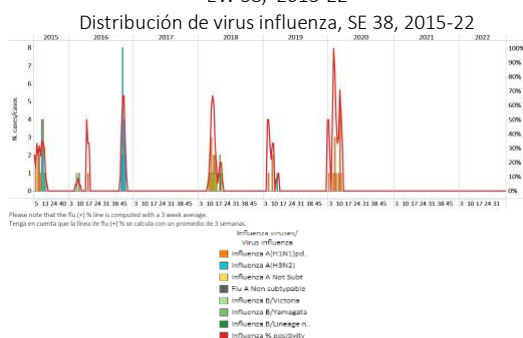
Graph 6. Mexico: Number of ILI cases, EW 38, 2022
(compared to 2015-21)
Número de casos de ETI, SE 38 de 2022
(comparado con 2015-21)



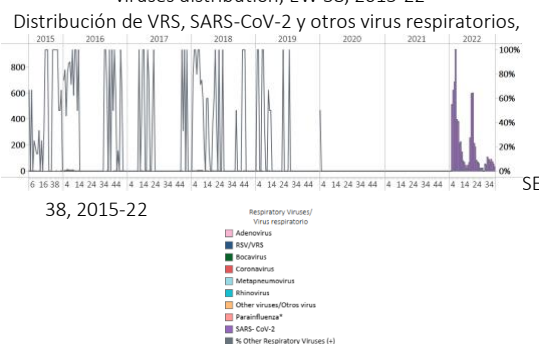
Caribbean / Caribe**Dominica**

- During EW 38, no samples were analyzed for influenza or RSV (Graphs 1 and 2). As of EW 38, 745 samples were analyzed for SARS-CoV-2 with 4.8% positivity (Graphs 2 and 3). No SARI cases have been recorded; as a result, severe acute respiratory infection activity is at baseline levels (Graph 4). / Durante la SE 38 no se analizaron muestras para influenza ni para VRS (Gráficos 1 y 2). En la SE 38 se analizaron 745 muestras para SARS-CoV-2 con un 4,8% de positividad (Gráficos 2 y 3). No se han registrado casos de IRAG; como resultado, la actividad de la infección respiratoria aguda grave se encuentra en niveles basales (Gráfico 4).

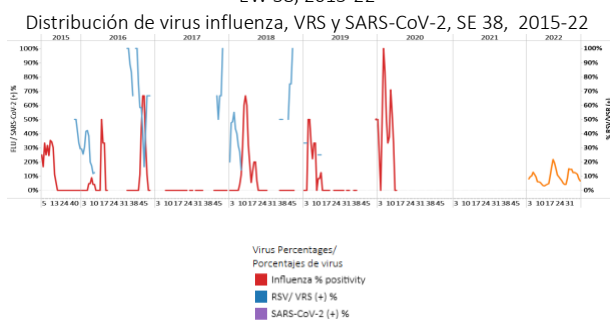
Graph 1. Dominica. Influenza virus distribution, EW 38, 2015-22



Graph 3. Dominica: RSV, SARS-CoV-2, and other respiratory viruses distribution, EW 38, 2015-22

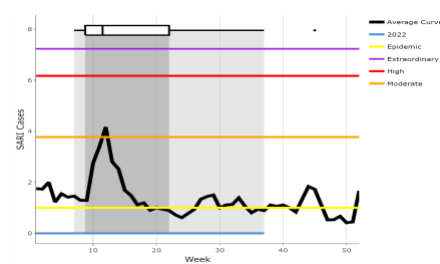


Graph 2. Dominica: Influenza, RSV, and SARS-CoV-2 distribution, EW 38, 2015-22



Graph 4. Dominica: Number of SARI cases, EW 38, 2022 (compared to 2010-21)

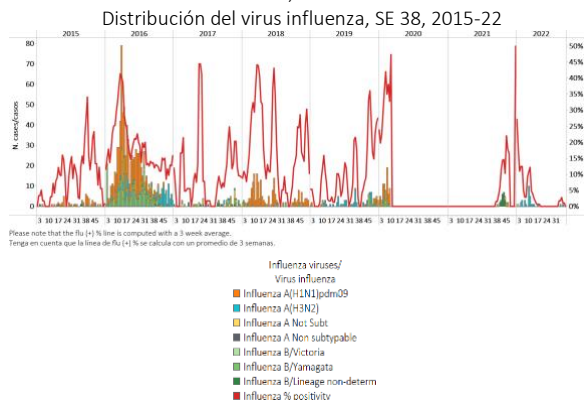
Número de casos de IRAG, SE 38 de 2022 (comparado con 2010-21)



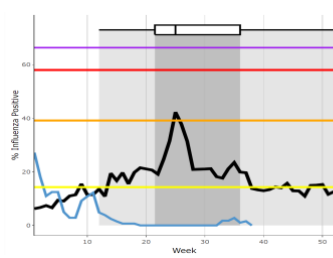
Dominican Republic / República Dominicana

- During EW 38, no influenza detections were recorded, with influenza A(H3N2) circulating in previous weeks (Graphs 1, 2, and 3). A few respiratory syncytial virus detections were registered, with increased activity (Graph 2). Five samples were analyzed for SARS-CoV-2, and none tested positive (Graph 4). In EW 37, SARI cases / 100 inpatients decreased and remained below the seasonal threshold (Graph 5). / Durante la SE 38 no se registraron detecciones de influenza, con circulación de influenza A(H3N2) en semanas previas (Gráficos 1, 2 y 3). Se registraron pocas detecciones de virus respiratorio sincitial, mostrando una actividad aumentada (Gráfico 2). Se analizaron cinco muestras para SARS-CoV-2 y ninguna resultó positiva (Gráfico 4). En la SE 37, el número de casos de IRAG por cada 100 hospitalizados disminuyó y se mantuvo por debajo del umbral estacional (Gráfico 5).

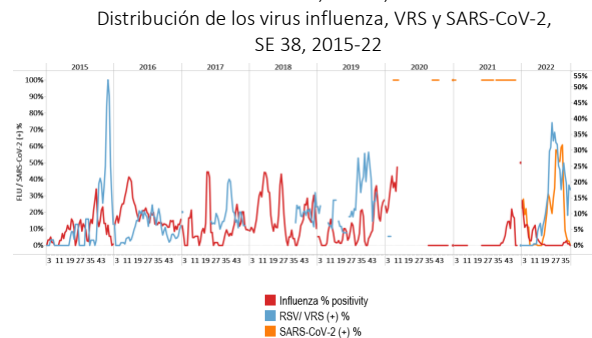
Graph 1. Dominican Republic: Influenza virus distribution, EW 38, 2015-22



Graph 3. Dominican Republic: Percent positivity for influenza, EW 38, 2022 (compared to 2010-21)
Porcentaje de positividad de influenza, SE 38 de 2022 (comparado con 2010-21)

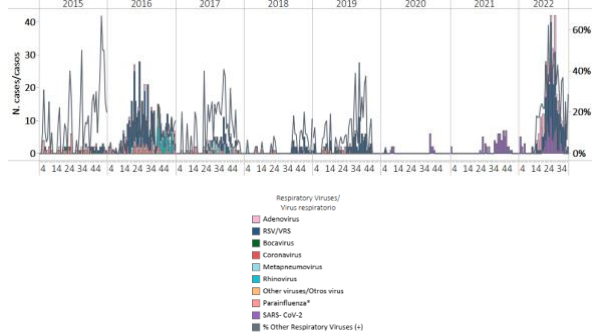


Graph 2. Dominican Republic Influenza, RSV, and SARS-CoV-2 distribution, EW 38, 2015-22



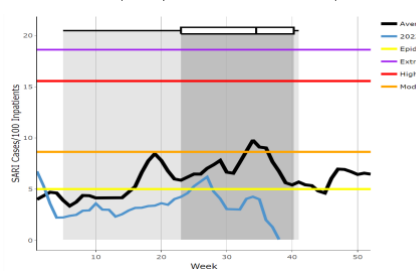
Graph 4. Dominican Republic: RSV, SARS-CoV-2, and other respiratory viruses distribution, EW 38, 2015-22

Distribución de VRS, SARS-CoV-2 y otros virus respiratorios, SE 38, 2015-22



Graph 5. Dominican Republic: SARI cases/100 hospitalizations, EW 37, 2022 (compared to 2018-21)

Casos de IRAG por cada 100 hospitalizaciones, SE 37 de 2022 (comparado con 2018-21)



French Territories / Territorios Franceses

- Guadeloupe:** In EW 37, on average, the number of ILI consultations augmented compared to the previous weeks (132 consultations EWs 33-37, vs. 67 in EWs 28-32) (Graph 1). The SARS-CoV-2 incidence rate (151/100 000 Pop.) and the screening rate (1028/100 000 Pop.) remained stable compared to the previously recorded. **Saint-Martin:** The SARS-CoV-2 incidence rate (53/100 000) remained stable compared to EW 36; likewise, the screening rate diminished (954/100 000) in EW 37 (Graph 2). The number of ARI consultations continued stable with 20 visits. **Saint-Barthelemy:** During EW 37, the SARS-CoV-2 incidence rate remained stable with a decreased screening rate (Graph 3). ARI consultations remained stable (12 vs. 10 in EW 36). **Martinique:** The number of ILI consultations has increased after EW 33 (Graph 4). Similarly, the COVID-19 incidence rate increased compared to the previous week (218/100 000 vs. 177 in EW 36); the screening rate increased. **French Guiana:** In EW 38, the ARI consultation rate was 48/100 000 Pop., lessened compared with last week's rate 118/100 000 Pop. (Graph 5). Similarly, the COVID-19 adjusted incidence rate declined (15/100 000 Pop.) compared with the previous week (24/100 000 Pop.)
- /Guadalupe:** en la SE 37, en promedio, aumentó el número de consultas por ETI en comparación con las semanas anteriores (132 consultas en las SE 33-37, vs. 67 en las SE 28-32) (Gráfico 1). La tasa de incidencia de SARS-CoV-2 (151/100000 hab.) y la tasa de despistaje (1028/100000 hab.) se mantuvieron estables en comparación con las registradas anteriormente. **San Martín:** la tasa de incidencia de SARS-CoV-2 (53/100000) se mantuvo estable en comparación con la SE 36; asimismo, la tasa de despistaje disminuyó (954/100000) en la SE 37 (Gráfico 2). El número de consultas de IRA se mantuvo estable con 20 visitas. **San Bartolomé:** durante la SE 37, la tasa de incidencia de SARS-CoV-2 se mantuvo estable con una tasa de despistaje disminuida (Gráfico 3). Las consultas por IRA se mantuvieron estables (12 vs. 10 en la SE 36). **Martinica:** el número de consultas por ETI ha aumentado después de la SE 33 (Gráfico 4). De igual manera, la tasa de incidencia de COVID-19 aumentó respecto a la semana anterior (218/100 000 vs. 177 en la SE 36); la tasa de despistaje aumentó. **Guayana Francesa:** en la SE 38, la tasa de consulta por IRA fue de 48/100000 hab., menor que la tasa de la semana pasada de 118/100000 hab. (Gráfico 5). Asimismo, la tasa de incidencia ajustada por COVID-19 disminuyó (15/100000 hab.) comparada con la de la semana previa (24/100000 hab.).

Graph 1. Guadeloupe: Estimated number of clinically suggestive cases of ILI, EWs 21-2021, to EW 37-2022

Número estimado de casos clínicamente sugestivos de ETI, SE 21 de 2021 a SE 37 de 2022

Graph 3. Saint-Barthelemy: Incidence and screening rates per week since week 21-2020, to September 7, 2022

Tasas de incidencia y de detección por semana desde la semana 21 de 2020 hasta el 7 de septiembre de 2022

Graph 2. Saint-Martin: Incidence and screening rates per week since week 21-2020, to September 7, 2022

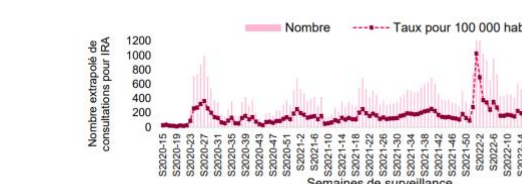
Tasas de incidencia y de detección por semana desde la semana 21 de 2020 hasta el 7 de septiembre de 2022

Graph 4. Martinique: Estimated number of clinically suggestive cases of ILI, EWs 21-2021, to EW 37-2022

Número estimado de casos clínicamente sugestivos de ETI, SE 21 de 2021 a SE 37 de 2022

Graph 5. French Guiana: Number and extrapolated rate of consultations for acute respiratory infections per 100000 population seen by general practitioners

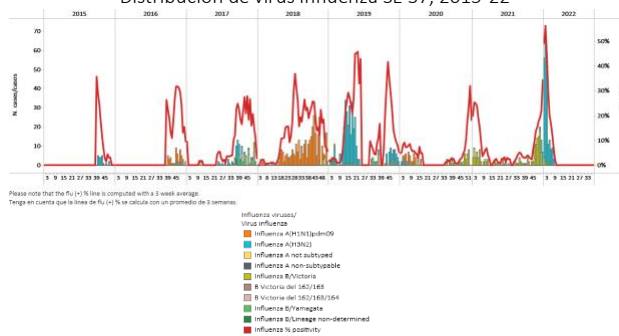
Número y tasa extrapolada de consultas por infecciones respiratorias agudas por cada 100000 habitantes atendidas por médicos generales



Haiti / Haití

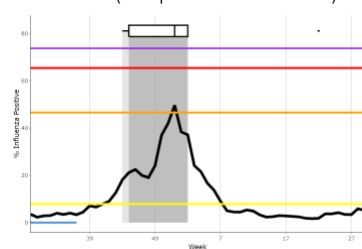
- No influenza detections have been recorded since EW 8, with the circulation and predominance of influenza A(H3N2), followed by A(H1N1)pdm09 and influenza B (lineage undetermined). During EW 37, no influenza detections were recorded (Graphs 1, 2, and 3). In EW 37, three specimens were analyzed for SARS-CoV-2, but none tested positive (Graphs 2 and 4). Similarly, the number of severe acute respiratory infections fell below the average of previous seasons at baseline levels (Graph 5). / No se registran detecciones de influenza desde la SE 8, con circulación y predominio de influenza A(H3N2), seguida de A(H1N1)pdm09 e influenza B (linaje indeterminado). Durante la SE 37 no se registraron detecciones de influenza (Gráficos 1, 2 y 3). En la SE 37, se analizaron tres especímenes para SARS-CoV-2, pero ninguno resultó positivo (Gráficos 2 y 4). De igual forma, el número de infecciones respiratorias agudas graves se redujo por debajo del promedio de temporadas anteriores en niveles basales (Gráfico 5).

Graph 1. Haiti: Influenza virus distribution EW 37, 2015-22
Distribución de virus influenza SE 37, 2015-22

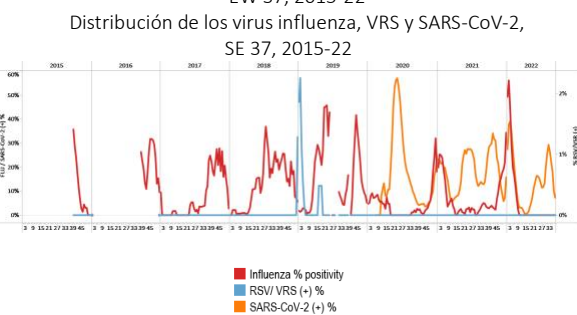


Graph 3. Haiti: Percent positivity for influenza, EW 37, 2022
(compared to 2015-21)

Porcentaje de positividad de influenza, SE 37 de 2022
(comparado con 2015-21)

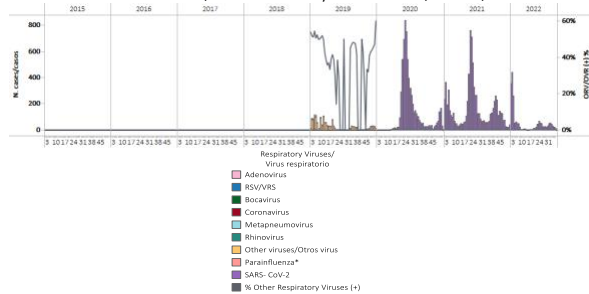


Graph 2. Haiti: Influenza, RSV, and SARS-CoV-2 distribution,
EW 37, 2015-22
Distribución de los virus influenza, VRS y SARS-CoV-2,
SE 37, 2015-22



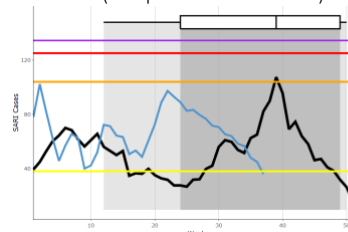
Graph 4. Haiti: RSV, SARS-CoV-2, and other respiratory viruses
distribution, EW 37, 2019-22

Distribución del VRS, SARS-CoV-2 y otros virus, SE 37, 2019-22



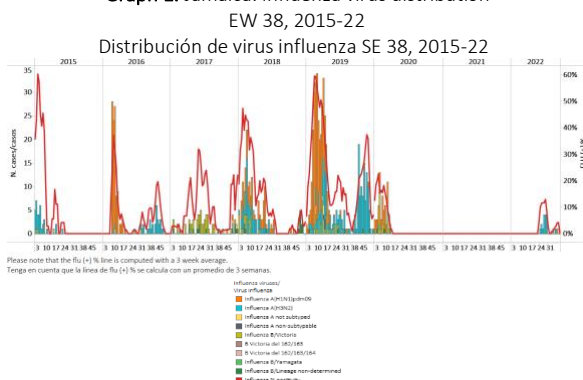
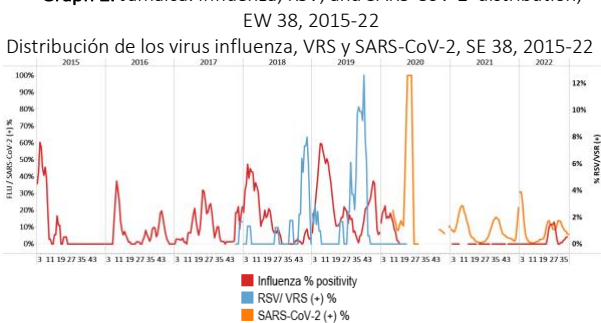
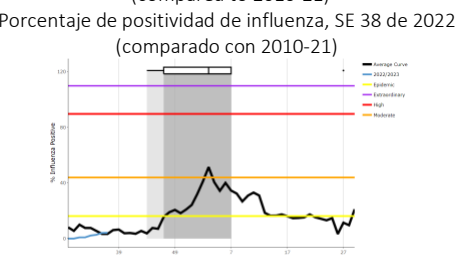
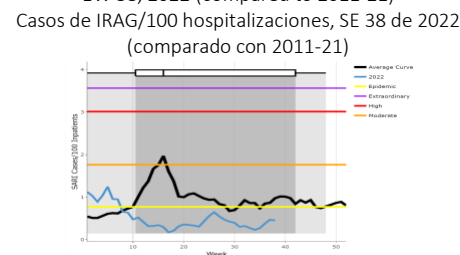
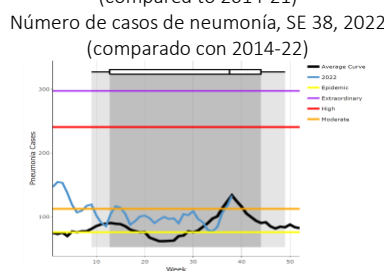
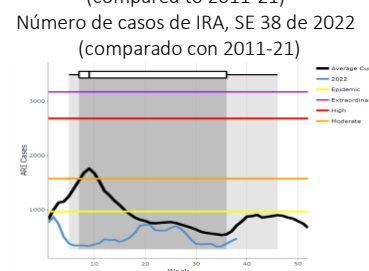
Graph 4. Haiti: Number of SARI cases, EW 37, 2022
(compared to 2017-21)

Número de casos de IRAG, SE 37 de 2022
(comparado con 2017-21)



Jamaica

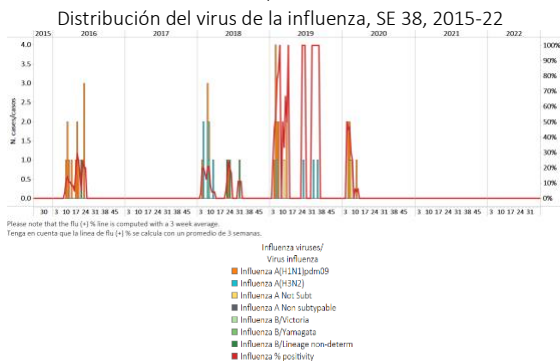
- After minimal influenza A(H1N1)pdm09 detections registered by EW 36, no detections were reported this week. Similarly, no RSV detections were recorded (Graphs 1 and 2). In EW 38, the percent positivity for influenza remained above the average of previous years at baseline levels (Graph 3). SARS-CoV-2 percent positivity (3.3%) declined compared to the last week (Graph 2). Severe acute respiratory infections / 100 hospitalizations continued below the average of prior years at baseline levels. Pneumonia cases increased at the average of previous years at moderate-intensity levels (Graphs 4 and 5). Acute respiratory infections remained stable at baseline levels (Graph 6). / Después del registro de mínimas detecciones de influenza A(H1N1)pdm09 hasta la SE 36, no se reportaron detecciones esta semana. De manera similar, no se registraron detecciones de VRS (Gráficos 1 y 2). En la SE 38, el porcentaje de positividad para influenza se mantuvo por encima del promedio de años anteriores en los niveles basales (Gráfico 3). El porcentaje de positividad de SARS-CoV-2 (3,3 %) disminuyó en comparación con la última semana (Gráfico 2). El número de infecciones respiratorias agudas graves por cada 100 hospitalizaciones continuó por debajo del promedio de años anteriores en los niveles basales. Los casos de neumonía aumentaron al promedio de años anteriores en niveles de intensidad moderada (Gráficos 4 y 5). Las infecciones respiratorias agudas se mantuvieron estables en los niveles basales (Gráfico 6).

Graph 1. Jamaica: Influenza virus distribution**Graph 2.** Jamaica: Influenza, RSV, and SARS-CoV-2 distribution,**Graph 3.** Jamaica: Percent positivity for influenza, EW 38, 2022 (compared to 2010-21)**Graph 4.** Jamaica: SARI cases/100 hospitalizations, EW 38, 2022 (compared to 2011-21)**Graph 5.** Jamaica: Number of pneumonia cases, EW 38, 2022 (compared to 2014-21)**Graph 6.** Jamaica: Number of ARI cases, EW 38, 2022 (compared to 2011-21)

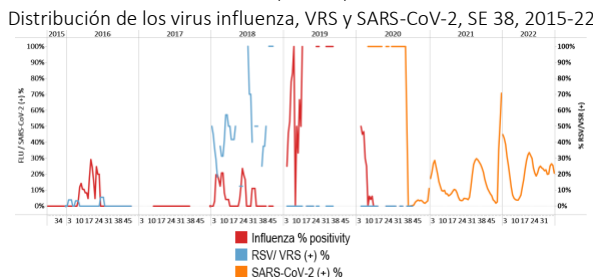
Saint Lucia / Santa Lucía

- During EW 38, no samples were analyzed for influenza or respiratory syncytial virus (Graph 1). In EW 38, of 701 samples analyzed for SARS-CoV-2, 18.7% tested positive; percent positivity decreased (Graphs 2 and 3). Overall, the number of influenza-like illness (ILI) cases among children under five years and persons five years and older have fluctuated throughout the year, remaining below the average of prior years (Graphs 4 and 5). Severe acute respiratory infection cases / 100 hospitalizations remained at baseline levels (Graph 6). The age group most affected is 1-4-year-olds, accounting for 52.9% of all SARI admissions. / Durante la SE 38 no se analizaron muestras para influenza ni para virus respiratorio sincitial (Gráfico 1). En la SE 38, de 701 muestras analizadas para SARS-CoV-2, 18,7 % resultaron positivas; el porcentaje de positividad disminuyó (Gráficos 2 y 3). En general, el número de casos de enfermedad tipo influenza (ETI) en niños menores de cinco años y personas de cinco años o más ha fluctuado a lo largo del año, manteniéndose por debajo del promedio de años anteriores (Gráficos 4 y 5). El número de casos de infección respiratoria aguda grave por cada 100 hospitalizaciones se mantuvo en niveles basales (Gráfico 6). El grupo de edad más afectado es el de 1 a 4 años, que representa el 52,9% de todos los ingresos por IRAG.

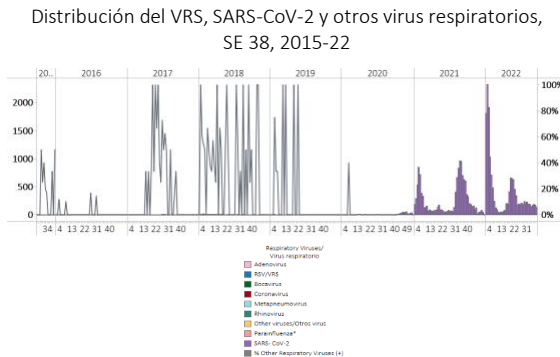
Graph 1. Saint Lucia: Influenza virus distribution, EW 38, 2015-22



Graph 2. Saint Lucia: Influenza, RSV, and SARS-CoV-2 virus distribution, EW 38, 2015-22

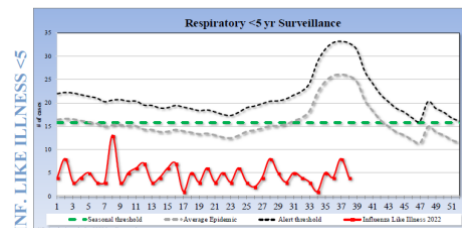


Graph 3. Saint Lucia: RSV, SARS-CoV-2, and other respiratory viruses distribution, EW 38, 2015-22



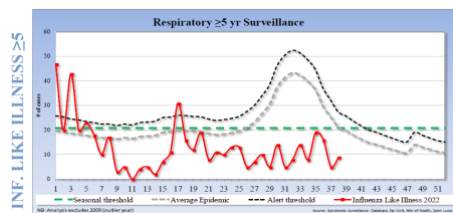
Graph 4. Saint Lucia: ILI case distribution among the < 5 years of age, EW 38, 2022 (compared to 2016-21)

Distribución de ETI entre los <5 años, SE 38, 2022
(comparado con 2016-21)



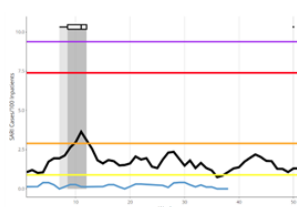
Graph 5. Saint Lucia: ILI case distribution among the ≥ 5 years of age, EW 38, 2022 (compared to 2016-21)

Número de casos de ETI en los ≥ 5 años, SE 38, 2022
(comparado con 2016-21)



Graph 6. Saint Lucia: SARI cases/100 hospitalizations, EW 38, 2022 (compared to 2016-21)

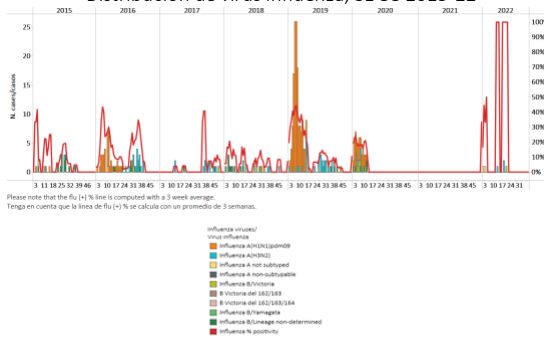
Casos de IRAG por cada 100 hospitalizaciones,
SE 38 de 2022 (comparado con 2016-21)



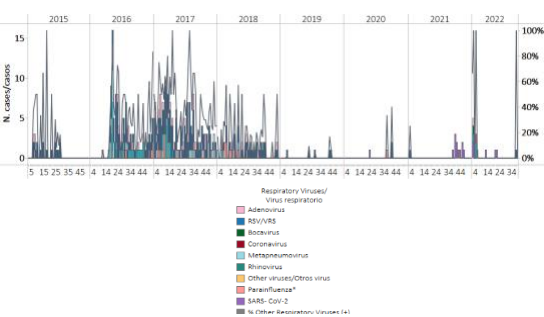
Suriname

- During EW 38, 2022, no samples were analyzed for influenza or RSV. Influenza A(H3N2) circulated in previous months. No samples were analyzed for SARS-CoV-2 in EW 38 (Graphs 1, 2, and 3). SARI cases / 100 hospitalizations remained at baseline levels (Graph 4). / Durante la SE 38 de 2022, no se analizaron muestras para influenza ni para VRS. El virus de la influenza A (H3N2) circuló en los meses previos. No se analizaron muestras para SARS-CoV-2 en la SE 38 (Gráficos 1, 2 y 3). El número de casos de IRAG por cada 100 hospitalizaciones permaneció en los niveles basales (Gráfico 4).

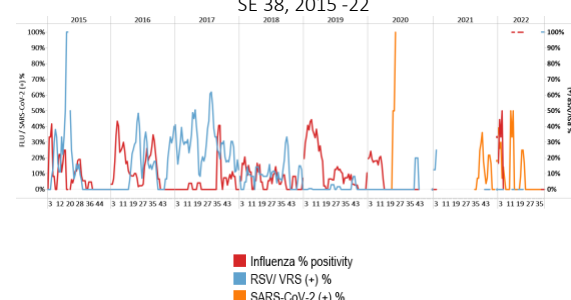
Graph 1. Suriname: Influenza virus distribution, EW 38, 2015-22
Distribución de virus influenza, SE 38 2015-22



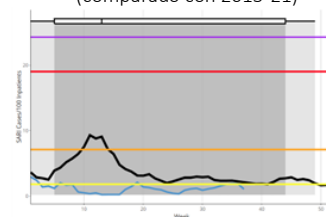
Graph 3. Suriname: RSV, SARS-CoV-2, and other respiratory viruses distribution, EW 38, 2015-22
Distribución del VRS, SARS-CoV-2 y otros virus respiratorios, SE 38, 2015-22



Graph 2. Suriname: Influenza, RSV, and SARS-CoV-2 distribution, EW 38, 2015-22
Distribución de los virus influenza, VRS y SARS-CoV-2, SE 38, 2015-22



Graph 4. Suriname: SARI cases/100 hospitalizations, EW 38, 2022
(compared to 2013-21)
Casos de IRAG por cada 100 hospitalizaciones, SE 38, 2022
(comparado con 2013-21)

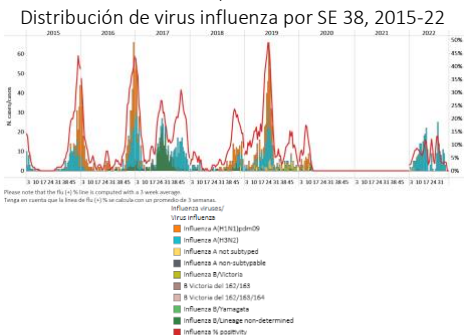


Central America / América Central

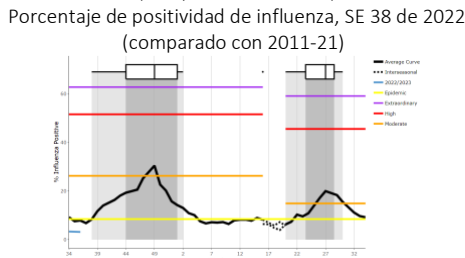
Costa Rica

- No influenza detections were recorded in EW 38, with the circulation of influenza A(H3N2) in recent weeks. Influenza activity was at the baseline level. In EW 38, no respiratory syncytial virus detections were reported. (Graphs 1, 2, and 3). During EW 38, one sample was analyzed for SARS-CoV-2 and tested positive (100%) (Graphs 2 and 4). SARI cases decreased, with activity at baseline levels (Graph 5). / En la SE 38 no se registraron detecciones de influenza con circulación de influenza A(H3N2) en las últimas semanas. La actividad de la influenza se ubicó en el nivel basal. En la SE 38 no se reportaron detecciones de virus respiratorio sincitrial. (Gráficos 1, 2 y 3). Durante la SE 38, se analizó una muestra para SARS-CoV-2 y resultó positiva (Gráficos 2 y 4). El número de casos de IRAG disminuyó, con actividad en niveles basales (Gráfico 5).

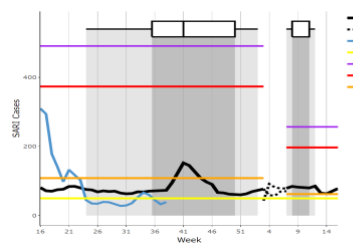
Graph 1. Costa Rica: Influenza virus distribution, EW 38, 2015-22



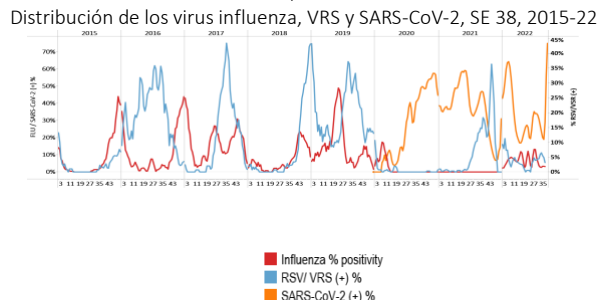
Graph 3. Costa Rica: Percent positivity for influenza, EW 38, 2022 (compared to 2011-21)



Graph 5. Costa Rica: Number of SARI cases, EW 38, 2022 (compared to 2013-21)
Número de casos de IRAG, SE 38 de 2022 (comparado con 2013-21)

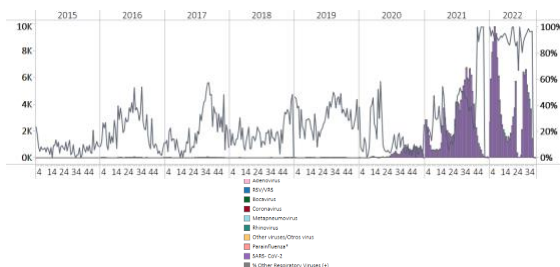


Graph 2. Costa Rica: Influenza, RSV, and SARS-CoV-2 distribution, EW 38, 2015-22



Graph 4. Costa Rica: RSV,SARS-CoV-2, and other respiratory viruses distribution, EW 38 2015-22

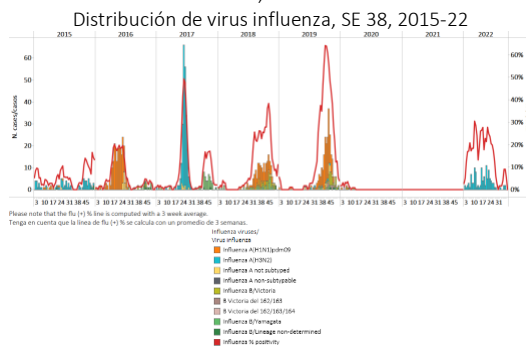
Distribución del VRS, SARS-CoV-2 y otros virus respiratorios, SE 38, 2015-22



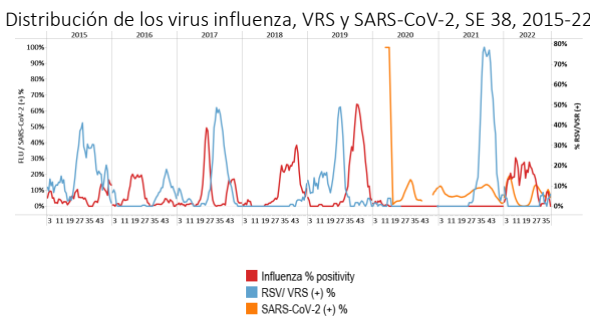
El Salvador

- As of EW 38, no influenza detections were registered, with the influenza A(H3N2) virus circulating in previous weeks. Influenza activity declined, with activity at baseline levels (Graphs 1 and 3). In EW 38, no respiratory syncytial virus detections were reported (Graph 2). Among 11 samples analyzed for SARS-CoV-2, none tested positive. The number of SARI cases / 100 hospitalizations augmented above the previous years' average at a low-intensity level (Graph 5). / En la SE 38 no se registraron detecciones de influenza, con circulación de influenza A(H3N2) en semanas previas. La actividad de la influenza disminuyó a niveles basales (Gráficos 1 y 3). En la SE 38, no se reportaron detecciones de virus respiratorio sincitial (Gráfico 2). De 11 muestras analizadas para SARS-CoV-2, ninguna resultó positiva. El número de casos de IRAG por cada 100 hospitalizaciones aumentó y se ubicó por encima del promedio de años previos a un nivel de baja intensidad (Gráfico 5).

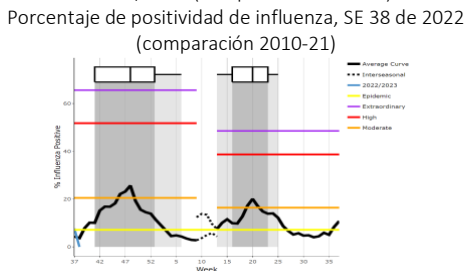
Graph 1. El Salvador: Influenza virus distribution, EW 38, 2015-22



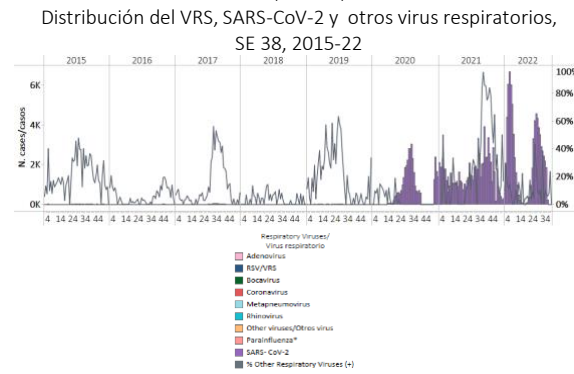
Graph 2. El Salvador: Influenza, RSV, and SARS-CoV-2 distribution, EW 38 2015-22



Graph 3. El Salvador: Percent positivity for influenza, EW 38, 2022 (compared to 2010-21)

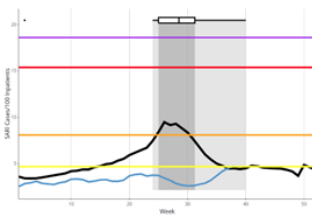


Graph 4. El Salvador: RSV, SARS-CoV-2, and other respiratory viruses distribution, EW 38, 2015-22



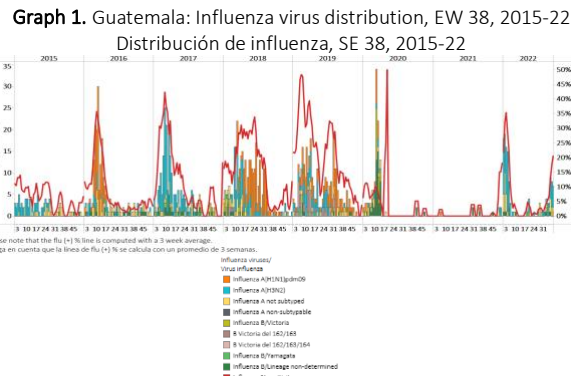
Graph 5. El Salvador: Number of SARI cases / 100 inpatients EW 38, 2022 (compared to 2016-2021)

Número de casos de IRAG / 100 hospitalizaciones,
SE 38 de 2022 (comparado con 2016-21)

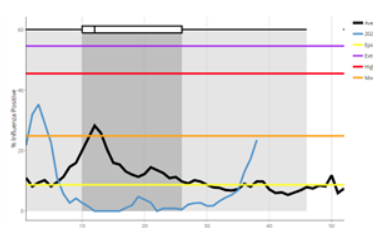


Guatemala

- During EW 38, influenza A(H3N2) detections were reported (when subtyping was performed), followed by minimal influenza B/Victoria detections; the percent positivity had a steep increase above the average of previous years at low-intensity levels for this time of year. In addition, few respiratory syncytial virus detections were recorded at sentinel sites. SARS-CoV-2 detections and percent positivity (1.5%) declined at lower levels than registered previously (Graphs 1, 2, 3, and 4). Rhinovirus, parainfluenza, coronavirus, and metapneumovirus detections were recorded during the reporting period. Influenza-like illnesses increased to moderate-intensity levels (Graph 5). In EW 38, four out of 23 ILI cases sampled tested positive for influenza (17.4%). Severe acute respiratory infections dropped to baseline levels (Graph 6). / Durante la SE 38, se informaron detecciones de influenza A(H3N2) (en muestras con subtipo determinado), seguidas de detecciones mínimas de influenza B/Victoria; el porcentaje de positividad tuvo un aumento abrupto por encima del promedio de años anteriores en niveles de baja intensidad para esta época del año. Además, se registraron pocas detecciones de virus respiratorio sincitial en los sitios centinela. Las detecciones de SARS-CoV-2 y el porcentaje de positividad (1,5 %) disminuyeron a niveles más bajos que los registrados anteriormente (Gráficos 1, 2, 3 y 4). Se registraron detecciones de rinovirus, parainfluenza, coronavirus y metapneumovirus durante el período del informe. La enfermedad tipo influenza aumentó a niveles de intensidad moderada (Gráfico 5). En la SE 38, cuatro de los 23 casos de ETI con muestra resultaron positivos para influenza (17,4 %). Las infecciones respiratorias agudas graves descendieron a niveles basales (Gráfico 6).



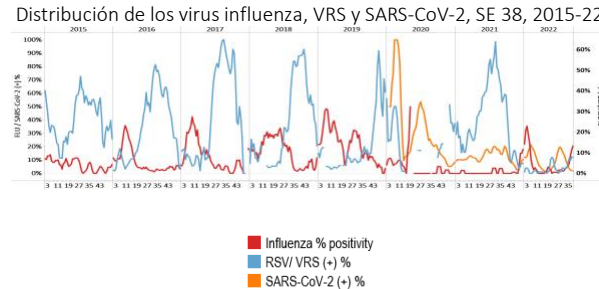
Graph 3. Guatemala: Percentage positivity for influenza, EW 38, 2022 (compared to 2010-21)
Porcentaje de positividad de influenza, SE 38 de 2022 (comparado con 2010-21)



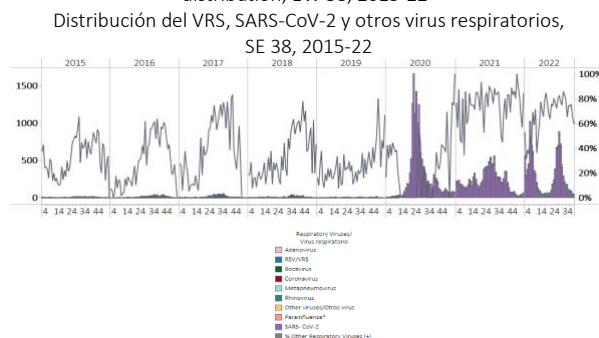
Graph 5. Guatemala: Number of ILI cases, EW 38, 2022 (compared to 2017-21)
Número de casos de ETI, SE 38 de 2022 (comparado con 2017-21)



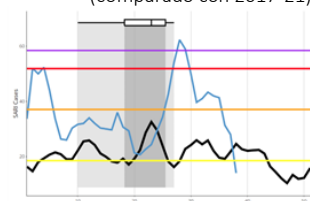
Graph 2. Guatemala: Influenza, RSV, and SARS-CoV-2 distribution, EW 38, 2015-22
Distribución de los virus influenza, VRS y SARS-CoV-2, SE 38, 2015-22



Graph 4. Guatemala: RSV, SARS-CoV-2, and other respiratory viruses distribution, EW 38, 2015-22
Distribución del VRS, SARS-CoV-2 y otros virus respiratorios, SE 38, 2015-22

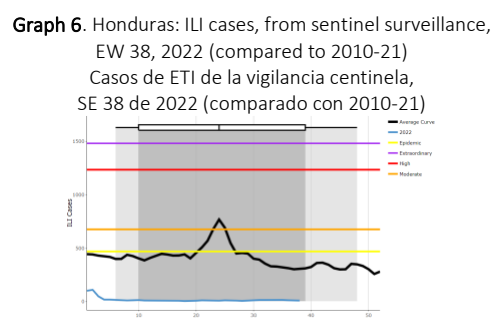
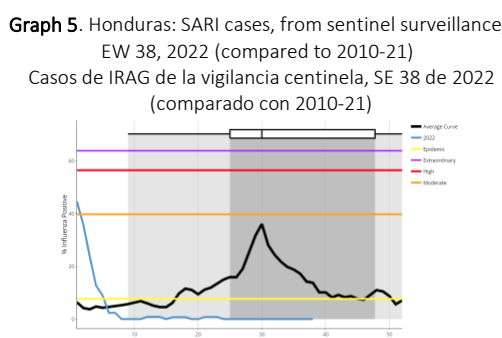
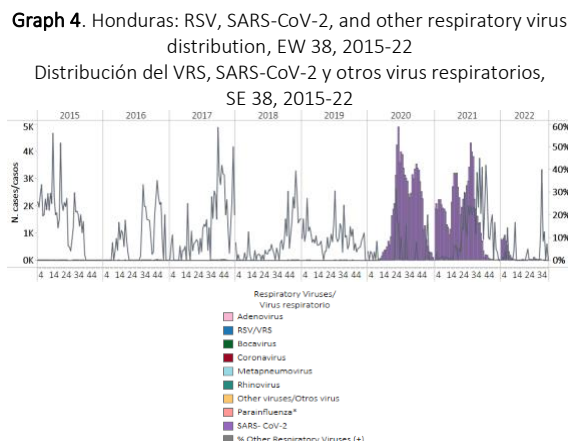
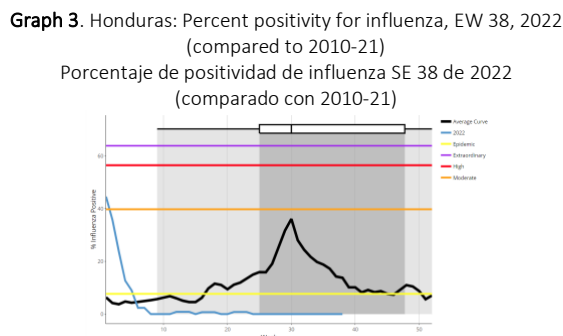
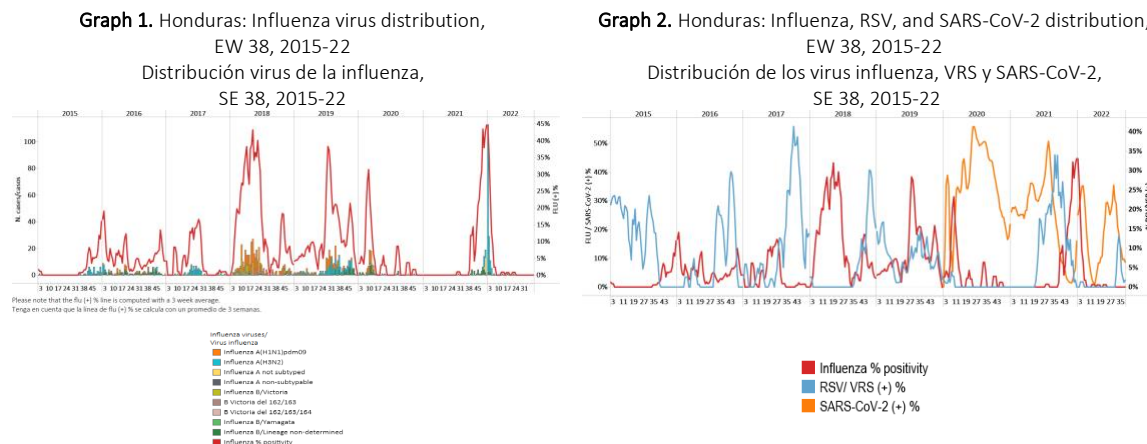


Graph 6. Guatemala: Number of SARI cases, EW 38, 2022 (compared to 2017-21)
Número de casos de IRAG, SE 38 de 2022 (comparado con 2017-21)



Honduras

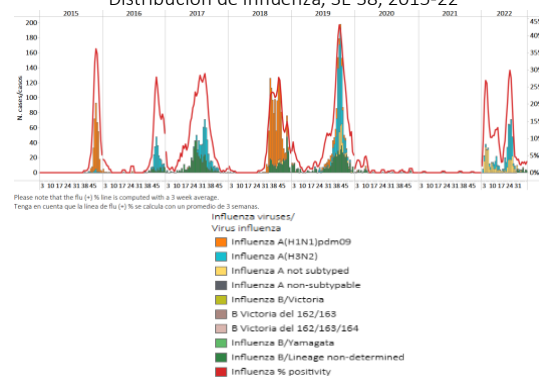
- In EW 38, no influenza detections were recorded. Influenza A(H3N2) and influenza B viruses have been co-circulated in previous months. During EW 38, no RSV detections were registered (Graphs 1, 2, and 3). At the national level, 16 samples were analyzed for SARS-CoV-2, and two tested positive. As a result, SARS-CoV-2 percent positivity decreased for the reporting period (Graphs 2 and 4). In addition, severe acute respiratory infection and influenza-like illness cases remained below historical activity levels (Graphs 5 and 6). / En la SE 38 no se registraron detecciones de influenza. Los virus influenza A(H3N2) e influenza B han circulado conjuntamente en meses anteriores. Durante la SE 38 no se registraron detecciones de VRS (Gráficos 1, 2 y 3). A nivel nacional, se analizaron 16 muestras para SARS-CoV-2 y dos resultaron positivas. Como resultado, el porcentaje de positividad del SARS-CoV-2 disminuyó durante el período del informe (Gráficos 2 y 4). Además, los casos de infección respiratoria aguda grave y enfermedad tipo influenza se mantuvieron por debajo de los niveles de actividad históricos (Gráficos 5 y 6).



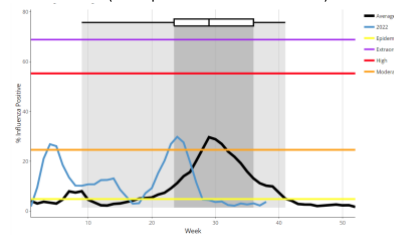
Nicaragua

- In EW 38, a few influenza B (lineage not characterized) detections were recorded. Influenza percent positivity continued at baseline levels. Likewise, respiratory syncytial virus detections were recorded with decreased activity at higher levels than observed in 2021 (Graphs 1, 2, and 3). SARS-CoV-2 percent positivity remained stable, and detections were similar to the number recorded by EW 37 (Graphs 2 and 4). In EW 38, 2.3% (25/1086) of the analyzed samples tested positive for SARS-CoV-2. / En la SE 38, se registraron algunas detecciones de influenza B (linaje no caracterizado). Como resultado, el porcentaje de positividad de influenza continuó en los niveles basales. Asimismo, se registraron detecciones de virus respiratorio sincitial con una actividad disminuida en niveles superiores a los observados en 2021 (Gráficos 1, 2 y 3). El porcentaje de positividad del SARS-CoV-2 se mantuvo estable y el número de detecciones fue similar al registrado en la SE 37 (Gráficos 2 y 4). En la SE 38, el 2,3 % (25/1086) de las muestras analizadas fueron positivas para SARS-CoV-2.

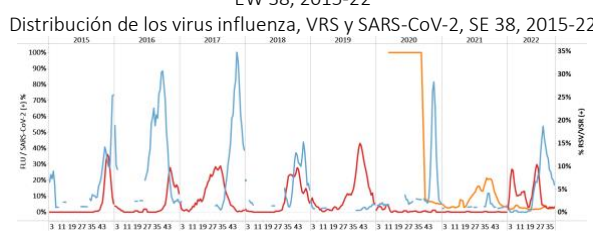
Graph 1. Nicaragua: Influenza virus distribution, EW 38, 2015-22
Distribución de influenza, SE 38, 2015-22



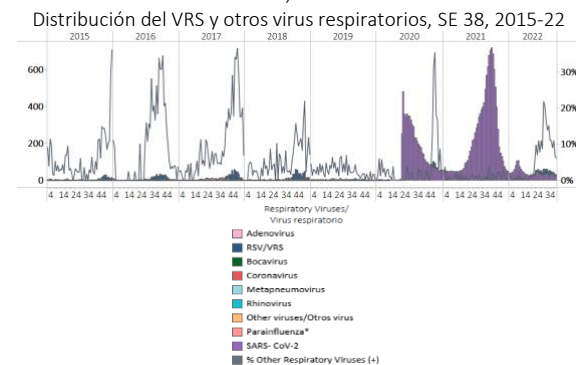
Graph 3. Nicaragua: Percent positivity for influenza, EW 38, 2022 (compared to 2010-21)
Porcentaje de positividad, SE 38 de 2022
(comparado con 2010-21)



Graph 2. Nicaragua: Influenza, RSV, and SARS-CoV-2 distribution, EW 38, 2015-22
Distribución de los virus influenza, VRS y SARS-CoV-2, SE 38, 2015-22



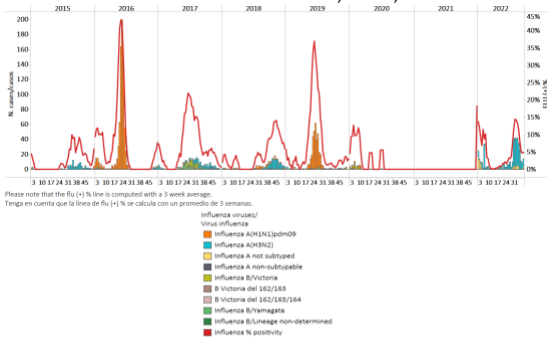
Graph 4. Nicaragua: RSV and other respiratory virus distribution, EW 38, 2015-22
Distribución del VRS y otros virus respiratorios, SE 38, 2015-22



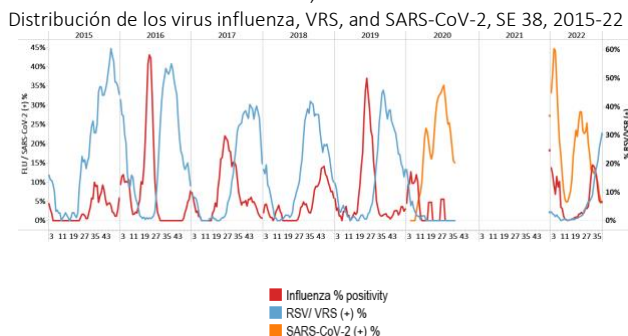
Panama / Panamá

- During EW 38, influenza A(H3N2) detections (where subtyping was performed) and minimal influenza B/Victoria detections were registered at sentinel sites; percent positivity declined to baseline levels. Respiratory syncytial virus detections were recorded, with increased percent positivity at moderate levels compared to prior years (Graphs 1, 2, 3, and 4). Co-circulation of rhinovirus, coronavirus, parainfluenza, and metapneumovirus was reported at levels observed in pre-pandemic years. Among 684 samples analyzed for SARS-CoV-2 by EW 38, 26 (3.8%) tested positive, with percent positivity declining, at lower levels than those observed since the pandemic's beginning (Graphs 2 and 4). / Durante la SE 38, en los sitios centinela se registraron detecciones de influenza A(H3N2) (en muestras con subtipo determinado) y detecciones mínimas de influenza B/Victoria; el porcentaje de positividad disminuyó a los niveles basales. Se registraron detecciones de virus respiratorio sincitial, con un aumento del porcentaje de positividad a niveles moderados en comparación con años anteriores (Gráficos 1, 2, 3 y 4). Se reportó la circulación concurrente de rinovirus, coronavirus, parainfluenza y metapneumovirus en los niveles observados en los años previos a la pandemia. De 684 muestras analizadas para SARS-CoV-2 hasta la SE 38, 26 (3,8 %) resultaron positivas, con un porcentaje de positividad decreciente, en niveles más bajos que los observados desde el comienzo de la pandemia (Gráficos 2 y 4).

Graph 1. Panama: Influenza virus distribution, EW 38, 2015-22
Distribución virus de influenza, SE 38, 2015-22



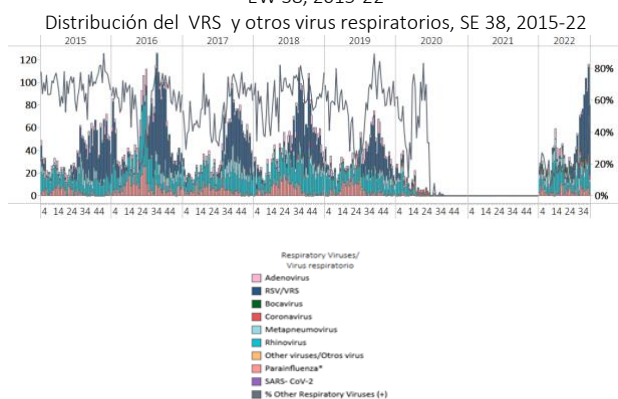
Graph 2. Panama: Influenza, RSV, and SARS-CoV-2 distribution, EW 38, 2015-22
Distribución de los virus influenza, VRS, y SARS-CoV-2, SE 38, 2015-22



Graph 3. Panama: Percent positivity for influenza, from sentinel surveillance, EW 38, 2022 (compared to 2010-21)
Porcentaje de positividad de influenza, de la vigilancia centinela, SE 38 de 2020 (comparado con 2010-21)



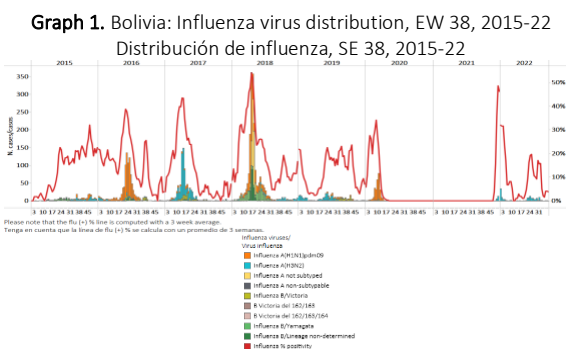
Graph 4. Panama: RSV and other respiratory viruses distribution, EW 38, 2015-22
Distribución del VRS y otros virus respiratorios, SE 38, 2015-22



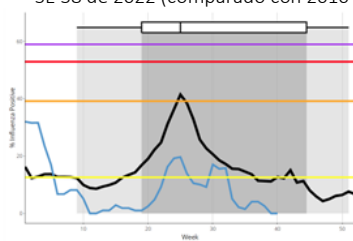
South America / América del Sur – Andean countries / Países andinos

Bolivia

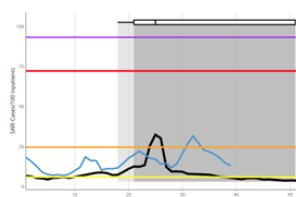
- During EW 38, no influenza detections were registered (Graph 1), with the circulation of influenza A (subtype undetermined) the previous week. Influenza activity decreased, remaining at baseline levels. Minimal respiratory syncytial virus detections were reported. In addition, SARS-CoV-2 detections and percent positivity decreased, with 2.7% of samples testing positive. Few adenovirus and rhinovirus detections were registered during the reporting period (Graphs 2, 3, and 4). SARI cases / 100 hospitalizations continue to decrease, with activity at low-intensity levels (Graph 5). / Durante la SE 38 no se registraron detecciones de influenza (Gráfico 1), con circulación de influenza A (subtipo indeterminado) la semana previa. La actividad por influenza disminuyó, manteniéndose en los niveles basales. Se reportaron detecciones mínimas de virus respiratorio sincitial. Además, las detecciones de SARS-CoV-2 y el porcentaje de positividad disminuyeron, con un 2,7 % de las muestras que resultaron positivas. Se registraron pocas detecciones de adenovirus y rinovirus durante el período del informe (Gráficos 2, 3 y 4). El número de casos de IRAG por cada 100 hospitalizaciones siguen en descenso, con actividad en niveles de baja intensidad (Gráfico 5).



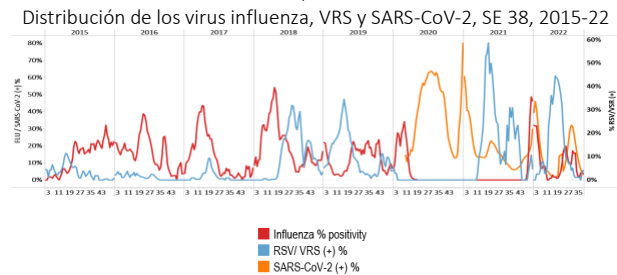
Graph 3. Bolivia: Percent positivity for influenza, from sentinel surveillance; EW 38, 2022 (compared to 2010-21)
 Porcentaje de positividad de influenza de la vigilancia centinela; SE 38 de 2022 (comparado con 2010-21)



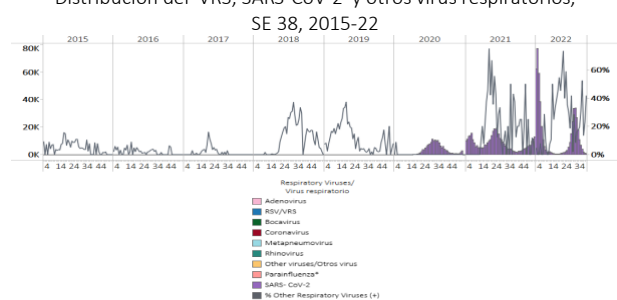
Graph 5. Bolivia: Number of SARI cases / 100 inpatients, EW 38, 2022 (compared to 2015-21)
 Número de casos de IRAG / 100 hospitalizaciones, SE 38 de 2022 (comparado con 2015-21)



Graph 2. Bolivia: Influenza, RSV, and SARS-CoV-2 distribution, EW 38, 2015-22
 Distribución de los virus influenza, VRS y SARS-CoV-2, SE 38, 2015-22



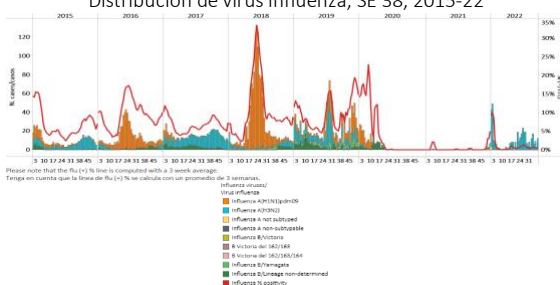
Graph 4. Bolivia: RSV, SARS-CoV-2, and other respiratory viruses distribution, EW 38, 2015-22
 Distribución del VRS, SARS-CoV-2 y otros virus respiratorios, SE 38, 2015-22



Colombia

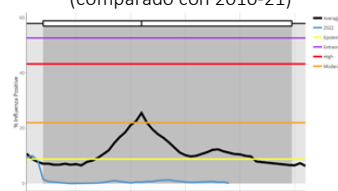
- During EW 38, a few influenza detections were reported, with the influenza A(H3N2) virus circulating at baseline activity levels. Respiratory syncytial virus detections were recorded with decreased percent positivity (Graphs 1, 2, and 3). In EW 38, SARS-CoV-2 percent positivity (2.6%) declined compared to the previous recorded, with fewer detections than reported last week (Graphs 2 and 4). The number of consultations for pneumonia has remained stable in recent weeks at a low-intensity level (Graph 5). Most pneumonia cases occurred in children under two, followed by those aged 60 and older. The composite parameter acute respiratory infection cases multiplied by the percent influenza positivity remained at baseline levels (Graph 6). / Durante la SE 38, se reportaron algunas detecciones de influenza, con circulación del virus influenza A(H3N2) en niveles de actividad basal. Las detecciones de virus sincitial respiratorio se registraron con un porcentaje de positividad disminuido (Gráficos 1, 2 y 3). En la SE 38, el porcentaje de positividad del SARS-CoV-2 (2,6 %) disminuyó en comparación con el registro anterior, con menos detecciones que las reportadas la semana pasada (Gráficos 2 y 4). El número de consultas por neumonía se ha mantenido estable en las últimas semanas en un nivel de baja intensidad (Gráfico 5). La mayoría de los casos de neumonía ocurrieron en niños menores de dos años, seguidos por los mayores de 60 años. El parámetro compuesto casos de infección respiratoria aguda multiplicado por el porcentaje de positividad de influenza se mantuvo en los niveles basales (Gráfico 6).

Graph 1. Colombia: Influenza virus distribution, EW 38, 2015-22
Distribución de virus influenza, SE 38, 2015-22



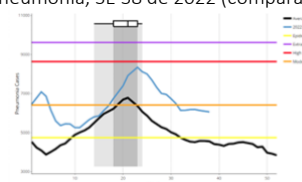
Graph 3. Colombia: Percent positivity for influenza, EW 38, 2022 (compared to 2010-21)

Porcentaje de positividad de influenza, SE 38 de 2022 (comparado con 2010-21)

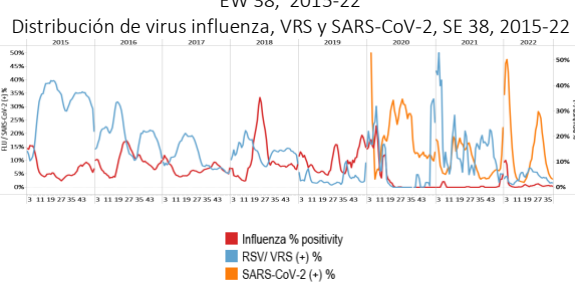


Graph 5: Colombia: Pneumonia cases, EW 38, 2022 (compared to 2012-21)

Casos de neumonía, SE 38 de 2022 (comparado con 2012-21)

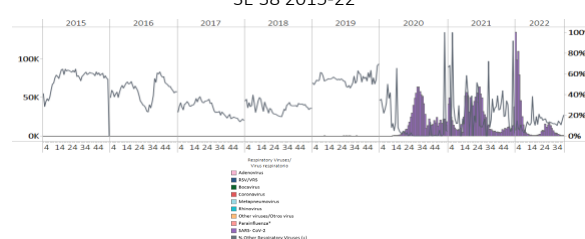


Graph 2. Colombia: Influenza, RSV and SARS-CoV-2 distribution, EW 38, 2015-22
Distribución de virus influenza, VRS y SARS-CoV-2, SE 38, 2015-22



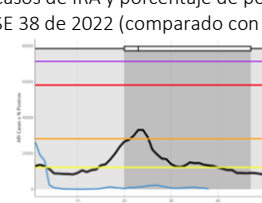
Graph 4. Colombia: RSV, SARS-CoV-2, and other respiratory virus distribution, EW 38, 2015-22

Distribución del VRS, SARS-CoV-2 y otros virus respiratorios, SE 38 2015-22



Graph 6. Colombia: Composite ARI cases x Percent positivity for influenza, EW 38, 2022 (compared to 2012-21)

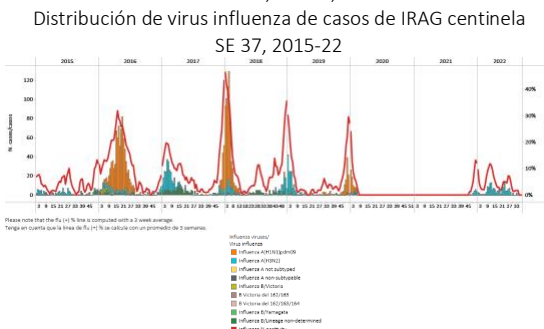
Producto de casos de IRA y porcentaje de positividad de influenza, SE 38 de 2022 (comparado con 2012-21)



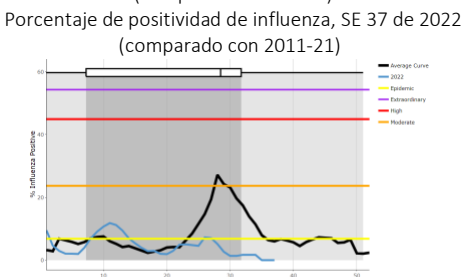
Ecuador

- In EW 37, no influenza detections were recorded with influenza A(H3N2) viruses circulating in previous weeks. Influenza activity remained at baseline levels. No respiratory syncytial virus detections were recorded (Graphs 1, 2, and 3). In EW 37, SARS-CoV-2 percent positivity (11.8%) continued to decline, with activity at levels similar to those recorded in mid-2021 (Graphs 2 and 4). In EW 37, SARI cases / 100 inpatients increased slightly above the average of previous years at a low-intensity level, and pneumonia cases decreased to baseline levels (Graphs 5 and 6). / En la SE 37, no se registraron detecciones de influenza con circulación del virus influenza A(H3N2) en semanas previas. La actividad de la influenza se mantuvo en los niveles basales. No se registraron detecciones de virus respiratorio sincitial (Gráficos 1, 2 y 3). En la SE 37, el porcentaje de positividad del SARS-CoV-2 (11,8%) continuó disminuyendo, con una actividad en niveles similares a los registrados a mediados de 2021 (Gráficos 2 y 4). En la SE 37, el número de casos de IRAG por cada 100 pacientes hospitalizados aumentó ligeramente por encima del promedio de años anteriores a un nivel de baja intensidad y los casos de neumonía disminuyeron a niveles basales (Gráficos 5 y 6).

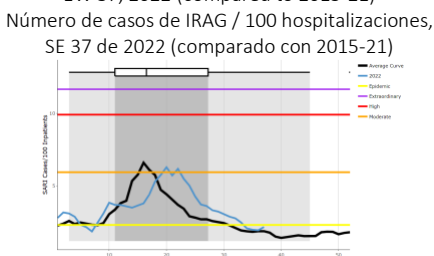
Graph 1. Ecuador: Influenza virus distribution from SARI sentinel cases, EW 37, 2015-22



Graph 3. Ecuador: Percent positivity for influenza, EW 37, 2022 (compared to 2011-21)

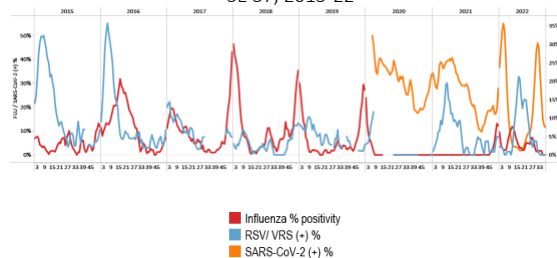


Graph 5. Ecuador: Number of SARI cases / 100 inpatients, EW 37, 2022 (compared to 2015-21)



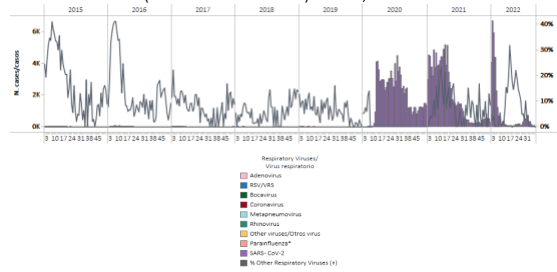
Graph 2. Ecuador: Influenza, RSV, and SARS-CoV-2 distribution EW 37, 2015-22

Distribución de los virus influenza, VRS y SARS-CoV-2, SE 37, 2015-22



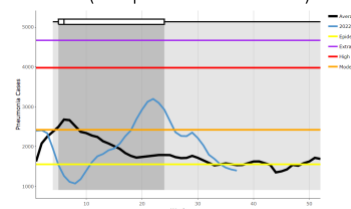
Graph 4. Ecuador: RSV, SARS-CoV-2, and other respiratory viruses distribution, (non-sentinel sites) EW 37, 2015-22

Distribución del VRS, SARS-CoV-2 y otros virus respiratorios, (sitios no centinela) SE 37, 2015-22



Graph 6. Ecuador: Pneumonia cases, EW 37, 2022 (compared to 2013-21)

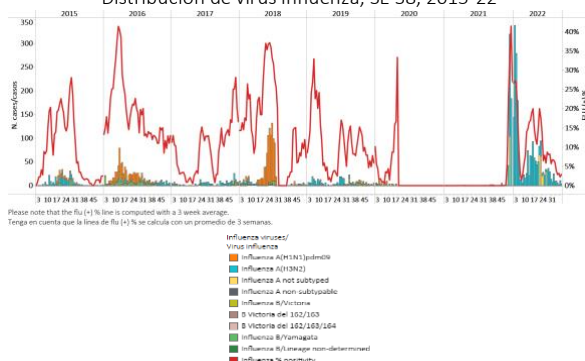
Casos de neumonía, SE 37 de 2022 (comparado con 2013-21)



- During EW 38, influenza A(H3N2) virus detections were reported (Graph 1), with influenza percent positivity at baseline levels (Graph 3). No respiratory syncytial virus detections recorded, with declined SARS-CoV-2 percent positivity (4.3%) and detections (Graphs 2 and 4). / Durante la SE 38, se informaron detecciones del virus de la influenza A(H3N2) (Gráfico 1), con el porcentaje de positividad de influenza en los niveles basales (Gráfico 3). En la SE 38 no se registraron detecciones de virus respiratorio sincitial, con una disminución del porcentaje de positividad (4,3 %) y de las detecciones de SARS-CoV-2 (Gráficos 2 y 4).

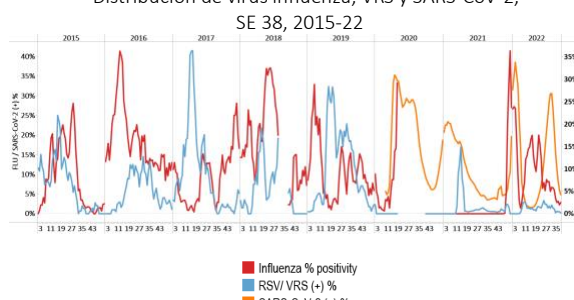
Graph 1. Peru: Influenza virus distribution, EW 38, 2015-22

Distribución de virus influenza, SE 38, 2015-22

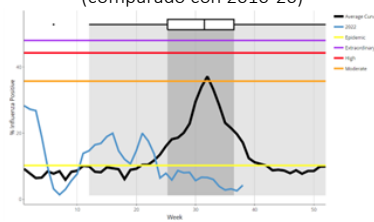
**Graph 2.** Peru: Influenza, RSV, and SARS-CoV-2 distribution, EW 38, 2015-22

Distribución de virus influenza, VRS y SARS-CoV-2,

SE 38, 2015-22

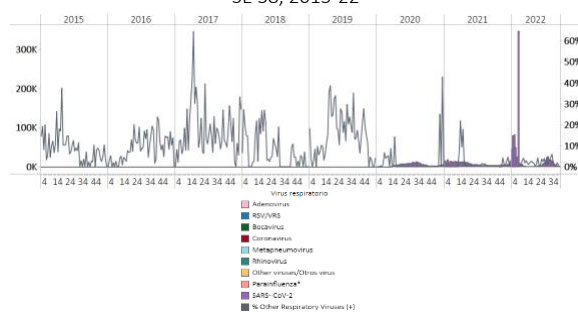
**Graph 3.** Peru: Percent positivity for influenza, EW 38, 2022 (compared to 2010-20)

Porcentaje de positividad de influenza, SE 38 de 2022 (comparado con 2010-20)

**Graph 4.** Peru: RSV, SARS-CoV-2, and other respiratory viruses distribution, EW 38, 2015-22

Distribución del VRS, SARS-CoV-2 y otros virus respiratorios,

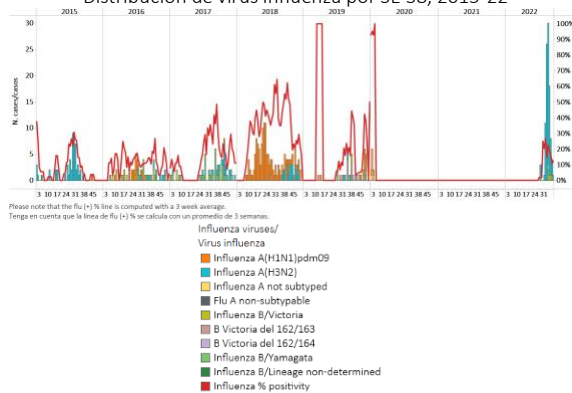
SE 38, 2015-22



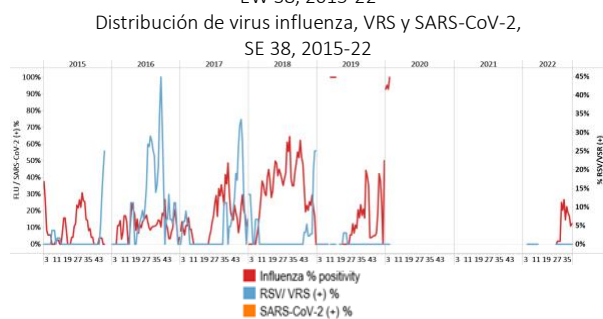
Venezuela

- During EW 38, influenza A(H3N2) detections were reported (Graph 1). No RSV detections were reported (Graph 2). Influenza activity continues at baseline levels (Graph 3). No other respiratory virus detections were recorded in EW 38 (Graph 4). / Durante la SE 38 se reportaron detecciones de influenza A(H3N2) (Gráfico 1). No se informaron detecciones de VRS (Gráfico 2). La actividad de la influenza continúa en niveles basales (Gráfico 3). No se registraron otras detecciones de virus respiratorios en la SE 38 (Gráfico 4).

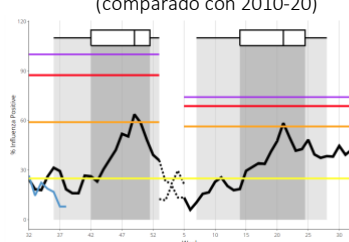
Graph 1. Venezuela: Influenza virus distribution by EW 38, 2015-22
Distribución de virus influenza por SE 38, 2015-22



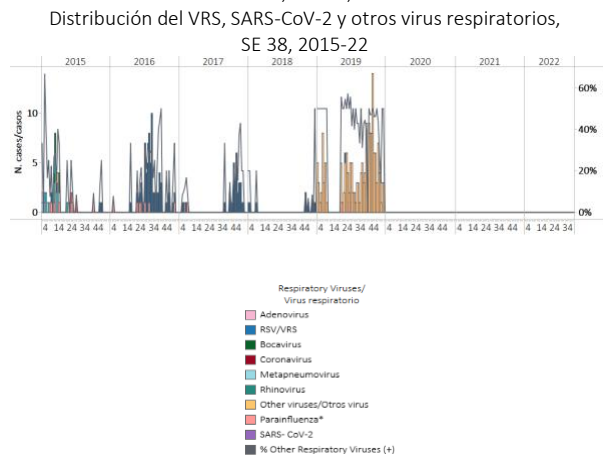
Graph 2. Venezuela: Influenza, RSV, and SARS-CoV-2 distribution, EW 38, 2015-22
Distribución de virus influenza, VRS y SARS-CoV-2, SE 38, 2015-22



Graph 3. Venezuela: Percent positivity for influenza, EW 38, 2022
(compared to 2010-20)
Porcentaje de positividad de influenza, SE 38 de 2022
(comparado con 2010-20)



Graph 4. Venezuela: RSV, SARS-CoV-2, and other respiratory viruses distribution, EW 38, 2015-22
Distribución del VRS, SARS-CoV-2 y otros virus respiratorios, SE 38, 2015-22

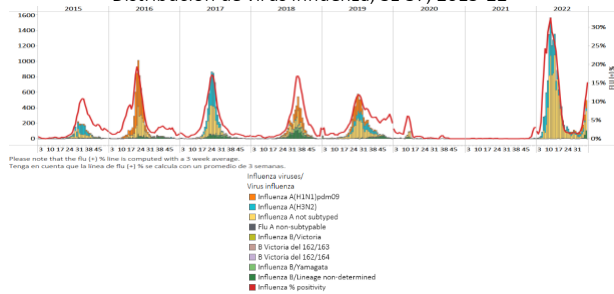


South America / América del Sur – South Cone and Brazil / Cono sur y Brasil

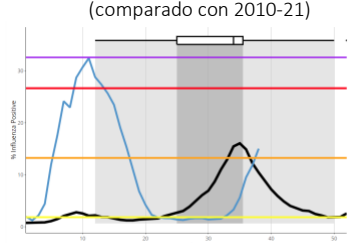
Argentina

- During EW 37, nationally, where subtyping was performed, influenza A(H1N1)pdm09 detections predominated, followed by A(H3N2) and influenza B/Victoria (where lineage was determined) detections. Influenza percent positivity increased above the average of previous seasons for this time of year at a moderate-intensity level (Graphs 1 and 3). In contrast, decreased respiratory syncytial virus detections were recorded, with reduced activity at lower levels than the peaks observed in previous seasons. Similarly, SARS-CoV-2 percent positivity (10.7%) decreased compared to previous weeks (Graphs 2 and 4). In EW 37, ILI consultations were below last season's average for this time of year at baseline levels (Graph 5); similarly, the number of SARI cases remained stable at baseline levels (Graph 6). / Durante la SE 37, a nivel nacional, en muestras con subtipo determinado, predominaron las detecciones de influenza A(H1N1)pdm09, seguidas de las detecciones de A(H3N2) e influenza B/Victoria (en muestras con linaje determinado). El porcentaje de positividad de influenza aumentó por encima del promedio de temporadas anteriores para esta época del año en un nivel de intensidad moderado (Gráficos 1 y 3). Por el contrario, se registró una disminución de las detecciones del virus respiratorio sincitrial, con una actividad reducida a niveles más bajos que los picos observados en temporadas anteriores. De manera similar, el porcentaje de positividad de SARS-CoV-2 (10,7 %) disminuyó en comparación con las semanas anteriores (Gráficos 2 y 4). En la SE 37, las consultas por ETI estuvieron por debajo del promedio de la última temporada para esta época del año en los niveles de referencia (Gráfico 5); de igual forma, el número de casos de IRAG se mantuvo estable en los niveles basales (Gráfico 6).

Graph 1. Argentina: Influenza virus distribution, EW 37, 2015-22
Distribución de virus influenza, SE 37, 2015-22

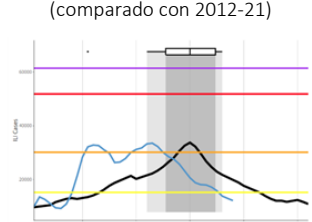


Graph 3. Argentina: Percent positivity for influenza, EW 37, 2022
(compared to 2010-21)
Porcentaje de positividad de influenza, SE 37 de 2022
(comparado con 2010-21)

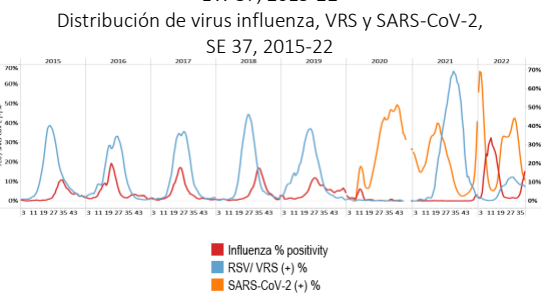


Graph 5. Argentina: Number of ILI cases, EW 37, 2022
(compared to 2012-21)

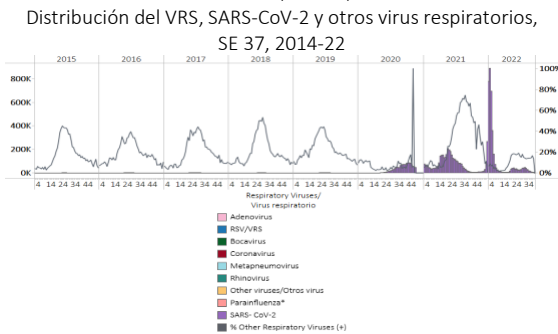
Número de casos de ETI, SE 37 de 2022
(comparado con 2012-21)



Graph 2. Argentina: Influenza, RSV, and SARS-CoV2 distribution
EW 37, 2015-22
Distribución de virus influenza, VRS y SARS-CoV2,
SE 37, 2015-22

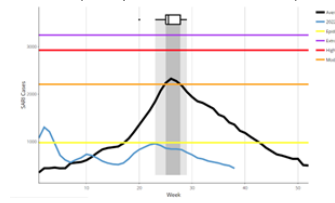


Graph 4. Argentina: RSV, SARS-CoV-2, and other respiratory virus distribution, EW 37, 2014-22
Distribución del VRS, SARS-CoV-2 y otros virus respiratorios,
SE 37, 2014-22



Graph 6. Argentina: Number of SARI cases, EW 37, 2022
(compared to 2012-21)

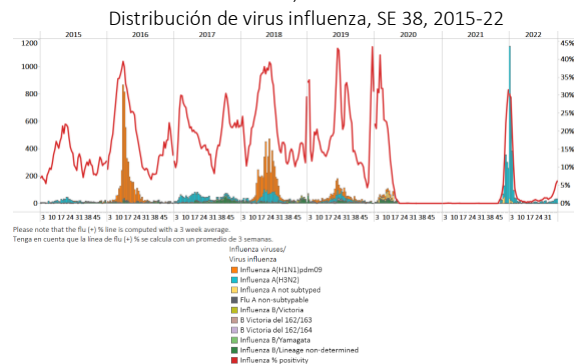
Número de casos de IRAG, SE 37 de 2022
(comparado con 2012-21)



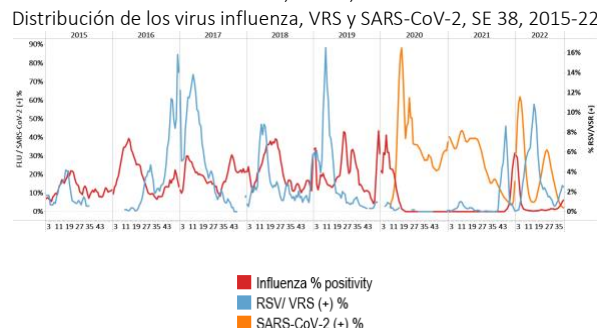
Brazil / Brasil

- During EW 38, influenza detections were recorded with the influenza A(H3N2) virus circulating. As a result, influenza percent positivity (7%) increased compared to the previously reported; similarly, influenza activity continues to increase although below the average of previous years for the same period with intensity at baseline levels (Graphs 1 and 3). Respiratory syncytial virus detections and percent positivity increased during the last week, while SARS-CoV-2 detections and percent positivity (1.9%) decreased compared to previous weeks (Graphs 2 and 4). / Durante la SE 38 se registraron detecciones de influenza con circulación del virus influenza A(H3N2). Como resultado, el porcentaje de positividad de influenza (7 %) aumentó en comparación con lo reportado previamente; de igual forma, la actividad de la influenza continúa aumentando aunque por debajo del promedio de años anteriores para el mismo período con intensidad en niveles basales (Gráficos 1 y 3). Las detecciones de virus respiratorio sincitrial y el porcentaje de positividad aumentaron durante la última semana, mientras que las detecciones de SARS-CoV-2 y el porcentaje de positividad (1,9 %) disminuyeron en comparación con las semanas previas (Gráficos 2 y 4).

Graph 1. Brazil: All NICs. Influenza virus distribution, EW 38, 2015-22

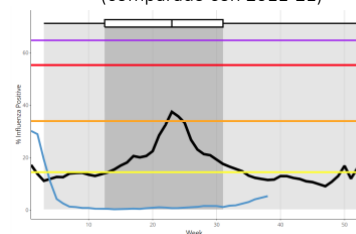


Graph 2. Brazil: All NICs. Influenza, RSV, and SARS-CoV-2, distribution, EW 38, 2015-22



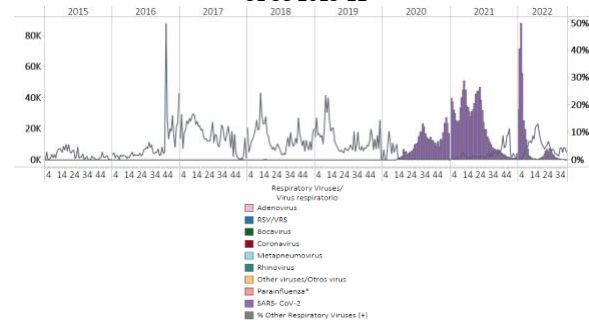
Graph 3. Brazil: Percent positivity for influenza, EW 38, 2022 (compared to 2011-21)

Porcentaje de positividad de influenza, SE 38 de 2022 (comparado con 2011-21)



Graph 4. Brazil: All NICs. RSV, SARS-CoV-2, and other respiratory virus distribution, EW 38, 2015-22

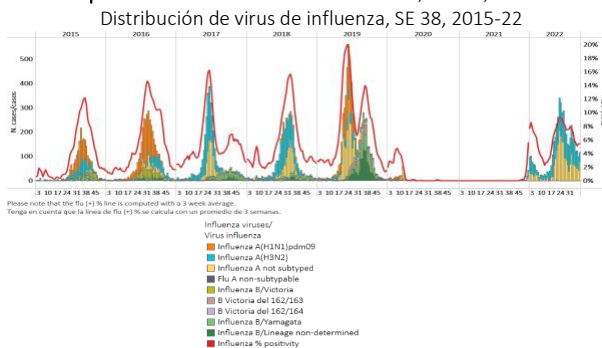
Distribución del VRS, SARS-CoV-2 y otros virus respiratorios, SE 38 2015-22



Chile

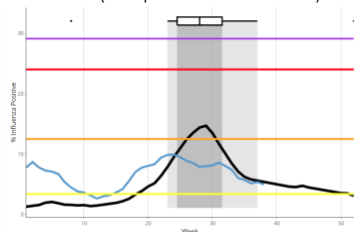
- In EW 38, influenza A(H3N2) detections (where subtyping was performed) were reported. Influenza activity decreased slightly at 5.9% positivity, slightly below the average of previous seasons at low-intensity levels (Graphs 1 and 3). Respiratory syncytial virus activity levels and percent positivity (2%) declined, while SARS-CoV-2 activity remained stable (4.6%) at levels observed early in 2021 (Graphs 2 and 4). Influenza-like illness visits remained at moderate-intensity levels (Graph 5), and the number of severe acute respiratory infection cases / 100 hospitalizations decreased slightly below the average of previous seasons at a low-intensity level (Graph 6). / En la SE 38 se reportaron detecciones de influenza A(H3N2) (en muestras con subtipo determinado). La actividad de la influenza disminuyó ligeramente a 5.9 % de positividad, por debajo del promedio de temporadas anteriores en niveles de baja intensidad (Gráficos 1 y 3). Los niveles de actividad del virus respiratorio sincitial y el porcentaje de positividad (2 %) disminuyeron, mientras que la actividad del SARS-CoV-2 se mantuvo estable (4.6 %) en los niveles observados a principios de 2021 (Gráficos 2 y 4). Las visitas por enfermedad tipo influenza se mantuvieron en niveles de intensidad moderada (Gráfico 5), y el número de casos de infección respiratoria aguda grave por cada 100 hospitalizaciones disminuyó levemente por debajo del promedio de temporadas anteriores en un nivel de intensidad baja (Gráfico 6).

Graph 1. Chile: Influenza virus distribution, EW 38, 2015-22



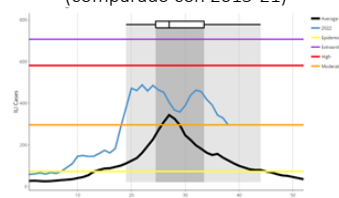
Graph 3. Chile: Percent positivity for influenza, EW 38, 2022 (compared to 2010-21)

Porcentaje de positividad de influenza, SE 38 de 2022 (comparado con 2010-21)



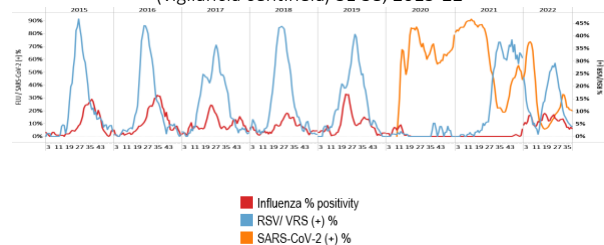
Graph 5. Chile: Number of ILI cases EW 38, 2022 (compared to 2015-21)

Número de consultas por ETI, SE 38 de 2022 (comparado con 2015-21)



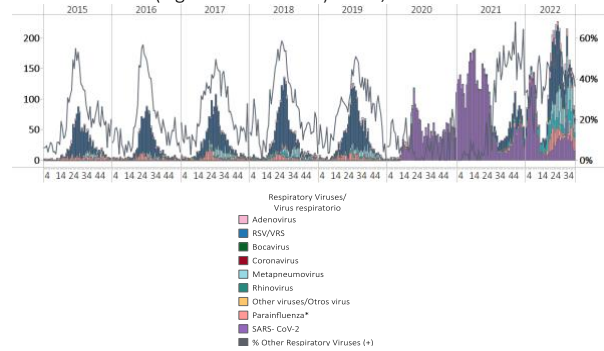
Graph 2. Chile: Influenza, RSV, and SARS-CoV-2, distribution, (sentinel surveillance) EW 38, 2015-22

Distribución de los virus influenza, VRS y SARS-CoV-2, (vigilancia centinela) SE 38, 2015-22



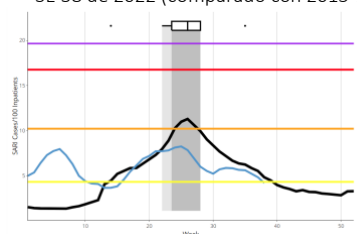
Graph 4. Chile: RSV, SARS-CoV-2, and other respiratory viruses distribution, (sentinel surveillance) EW 38, 2015-22

Distribución del VRS, SARS-CoV-2 y otros virus respiratorios (vigilancia centinela) SE 38, 2015-22



Graph 6. Chile: SARI cases/100 hospitalizations (sentinel surveillance) EW 38, 2022 (compared to 2015-21)

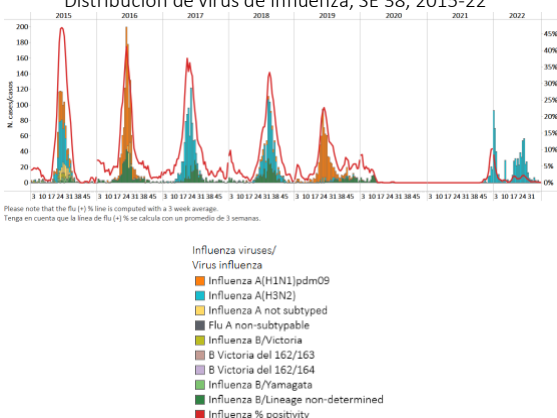
Casos de IRAG/100 hospitalizaciones (vigilancia centinela), SE 38 de 2022 (comparado con 2015-21)



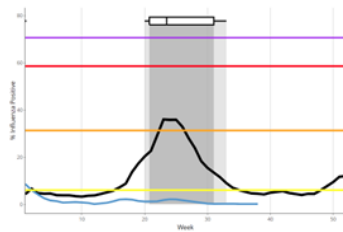
Paraguay

- In EW 38, no influenza or RSV detections were reported; influenza A(H3N2) circulated in previous weeks nationwide (Graphs 1, 2, and 3). Declined SARS-CoV-2 detections and percent positivity was registered (Graphs 2 and 4). In recent weeks SARI/100 hospitalizations at sentinel sites have shown a decreasing trend with activity at a low-intensity level below the average of previous seasons (Graph 5). ILI cases/1000 outpatients remained stable at baseline levels (Graph 6). /En la SE 38, no se reportaron detecciones de influenza ni de VRS; influenza A(H3N2) circuló en semanas anteriores a nivel nacional (Gráficos 1, 2 y 3). Se registró una disminución en las detecciones de SARS-CoV-2 y su porcentaje de positividad (Gráficos 2 y 4). En las últimas semanas el número de casos de IRAG por cada 100 hospitalizaciones en los sitios centinela han mostrado una tendencia decreciente con un nivel de actividad de baja intensidad por debajo del promedio de temporadas previas (Gráfico 5). El número de casos de ETI por cada 1000 pacientes ambulatorios se mantuvo estable en los niveles basales (Gráfico 6).

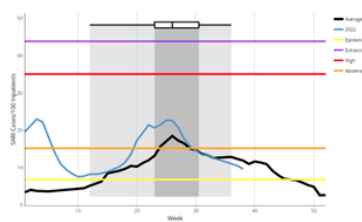
Graph 1. Paraguay: Influenza virus distribution EW 38, 2015-22
Distribución de virus de influenza, SE 38, 2015-22



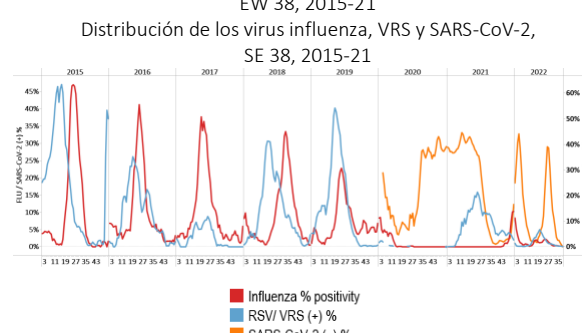
Graph 3. Paraguay: Percent positivity for influenza, EW 38, 2022
(in comparision to 2010-21)
Porcentaje de positividad de influenza, SE 38 de 2022
(comparado con 2010-21)



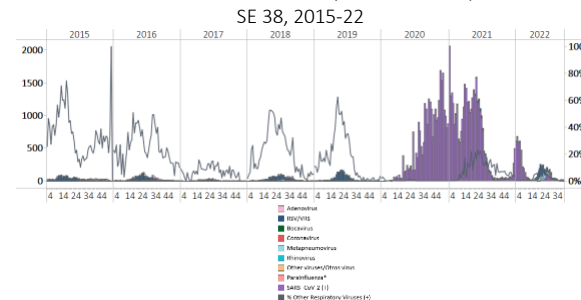
Graph 5. Paraguay: Number of SARI cases / 100 inpatients
EW 38, 2022 (compared to 2015-21)
Número de casos de IRAG / 100 hospitalizaciones, SE 38 de 2022
(comparado con 2015-21)



Graph 2. Paraguay: Influenza, RSV, and SARS-CoV-2 distribution,
EW 38, 2015-21
Distribución de los virus influenza, VRS y SARS-CoV-2,
SE 38, 2015-21

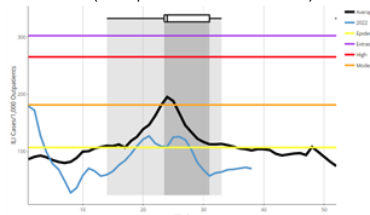


Graph 4. Paraguay: RSV, SARS-CoV-2, and other respiratory viruses
distribution, EW 38, 2015-22
Distribución del VRS, SARS-CoV-2 y otros virus respiratorios,
SE 38, 2015-22



Graph 6. Paraguay: ILI cases/1000 outpatients, EW 38, 2022
(compared to 2015-21)

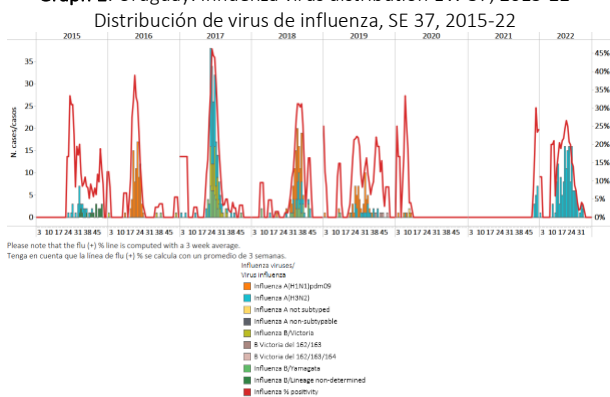
Casos de ETI por cada 1000 consultas ambulatorias, SE 38 de 2021
(comparado con 2015-21)



Uruguay

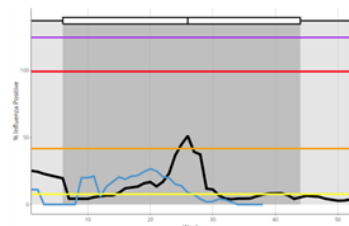
- In EW 37, no influenza detections were reported, with minimal influenza A(H3N2) circulation in previous weeks. Percent positivity remained at baseline levels (Graphs 1 and 3). A few respiratory syncytial virus detections were recorded, and the percent positivity increased to higher levels than the first peak in 2021. During EW 37, SARS-CoV-2 detections increased, with percent positivity at 15% (Graph 2). In EW 37, 1306 COVID-19 cases were confirmed, and 11 COVID-19-associated deaths were recorded nationally. Adenovirus, rhinovirus, coronavirus, and parainfluenza were co-circulated. In addition, SARI cases/100 hospitalizations at sentinel sites decreased and remained at low-intensity levels above the average of previous seasons (Graph 4). / En la SE 37 no se reportaron detecciones de influenza, con circulación mínima de influenza A(H3N2) en semanas previas. El porcentaje de positividad se mantuvo en los niveles basales (Gráficos 1 y 3). Se registraron algunas detecciones de virus respiratorio sincitial y el porcentaje de positividad aumentó a niveles más altos que el primer pico de 2021. Durante la SE 37, las detecciones de SARS-CoV-2 aumentaron, con un porcentaje de positividad del 15% (Gráfico 2). En la SE 37, se confirmaron 1306 casos de la COVID-19 y se registraron 11 muertes asociadas a la COVID-19 a nivel nacional. Hubo la circulación concurrente de adenovirus, rinovirus, coronavirus y parainfluenza. Además, en los sitios centinela el número de casos de IRAG por cada 100 hospitalizaciones disminuyó y permaneció en niveles de baja intensidad por encima del promedio de temporadas anteriores (Gráfico 4).

Graph 1. Uruguay: Influenza virus distribution EW 37, 2015-22

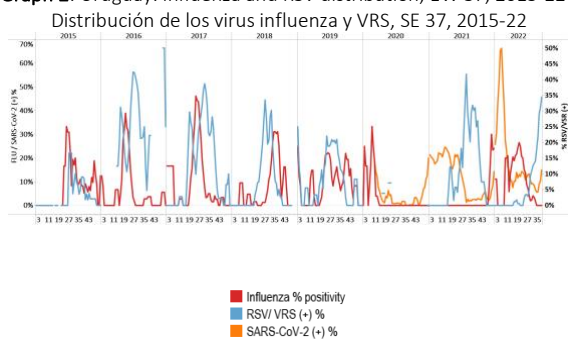


Graph 3. Uruguay: Percent positivity for influenza, EW 37, 2022 (compared to 2010-21)

Porcentaje de positividad de influenza, SE 38 de 2022 (comparado con 2010-21)

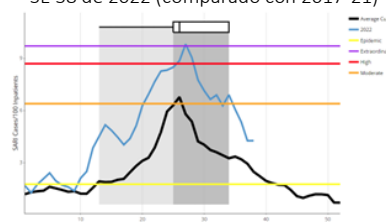


Graph 2. Uruguay: Influenza and RSV distribution, EW 37, 2015-22



Graph 4. Uruguay: SARI cases/100 hospitalizations

(sentinel surveillance), EW 38, 2022 (compared to 2017-21)
 Casos de IRAG por cada 100 hospitalizaciones (vigilancia centinela), SE 38 de 2022 (comparado con 2017-21)



TECHNICAL NOTE

Average Curves

Average curves for influenza-like illness (ILI), acute respiratory infection (ARI), pneumonia, and severe acute respiratory infection (SARI) were generated using the WHO Average Curve App.

In the report, the average curve is shown in black and the ongoing season is shown in blue. The average curve shows a typical season in terms of both timing and intensity. The distribution of past seasonal peaks is shown with a boxplot and vertical shading. Thresholds depicting the intensity of activity are shown with colored lines⁶.

Viral distribution by year and epidemiological week

Please note that the percent positivity line of influenza and other respiratory virus is computed with a three (3) week average⁷.

NOTA TÉCNICA

Curvas promedio

Las curvas promedio para la enfermedad tipo influenza (ETI), infección respiratoria aguda (IRA), neumonía e infección respiratoria aguda grave (IRAG) se generaron utilizando la aplicación de Curva promedio de la OMS.

En el informe, la curva promedio se muestra en negro y la temporada en curso se muestra en azul. La curva promedio muestra una temporada típica en términos de tiempo e intensidad. La distribución de los picos estacionales anteriores se muestra con un diagrama de caja y sombreado vertical. Los umbrales que representan la intensidad de la actividad se muestran con líneas de colores⁵.

Distribución de los virus por año y semana epidemiológica

Tenga en cuenta que la línea del porcentaje de positividad para influenza y los otros virus respiratorios se calcula con un promedio de tres (3) semanas⁶.

⁶ WHO (2021), WHO Average Curves software, Version 0.3 (9 Oct 2019), © Copyright World Health Organization (WHO), Geneva.

⁷ World Health Organization. (2013). Global epidemiological surveillance standards for influenza. World Health Organization.
<https://apps.who.int/iris/handle/10665/311268>

ACRONYMS

ARI	Acute respiratory infection
CARPHA	Caribbean Public Health Agency
EW	Epidemiological week
ILI	Influenza-like illness
INS	Instituto Nacional de Salud
ORV	Other respiratory viruses
SARI	Severe acute respiratory infection
ICU	Intensive care unit
RSV	Respiratory syncytial virus

ACRÓNIMOS

CARPHA	Agencia de Salud Pública del Caribe
ETI	Enfermedad tipo influenza
INS	Instituto Nacional de Salud
IRA	Infección respiratoria aguda
IRAG	Infección respiratoria aguda grave
OVR	Otros virus respiratorios
SE	Semana epidemiológica
UCI	Unidad de cuidados intensivos
VRS	Virus respiratorio sincitial